

Bild 1: PVC-P Dichtungsbahn, Einlagerung in PF 1, Masseänderung

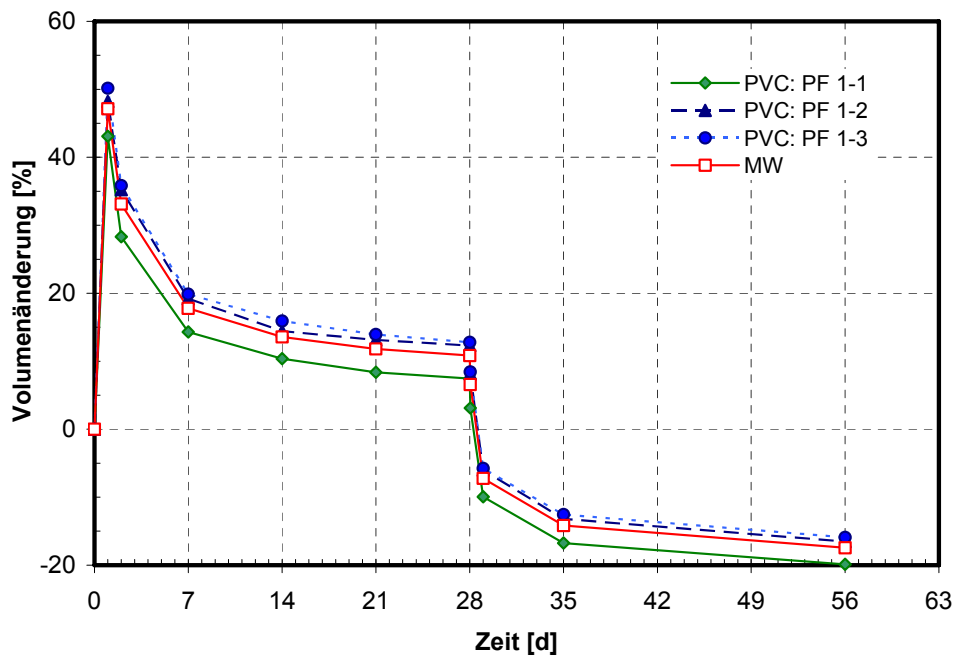


Bild 2: PVC-P Dichtungsbahn, Einlagerung in PF 1, Volumenänderung

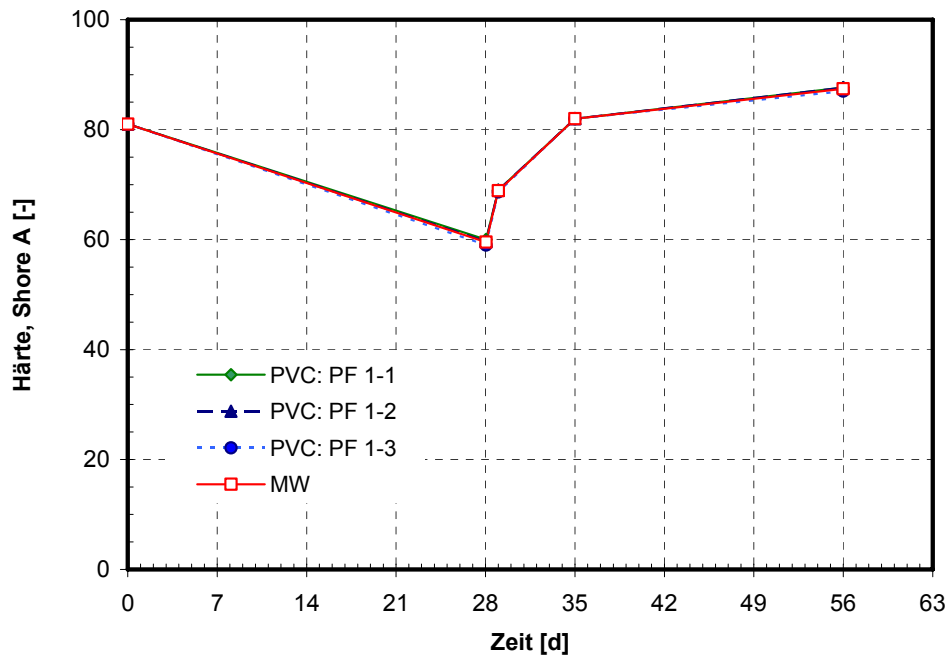


Bild 3: PVC-P Dichtungsbahn, Einlagerung in PF 1, Härteänderung (Shore-Einheiten)

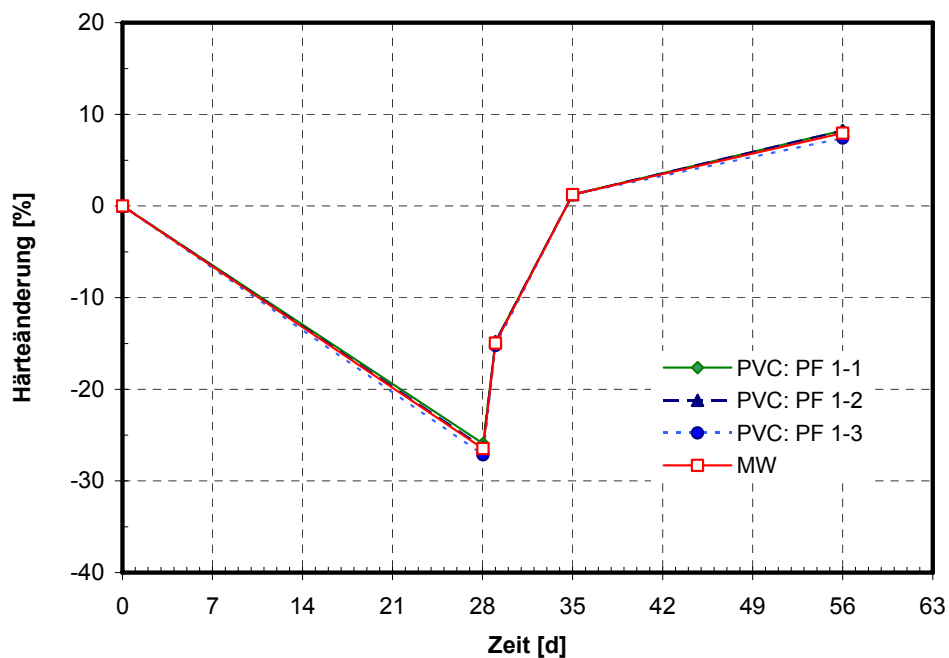


Bild 4: PVC-P Dichtungsbahn, Einlagerung in PF 1, Härteänderung, bezogen auf die bei 23 °C, 50 % r. F. gelagerte Probe

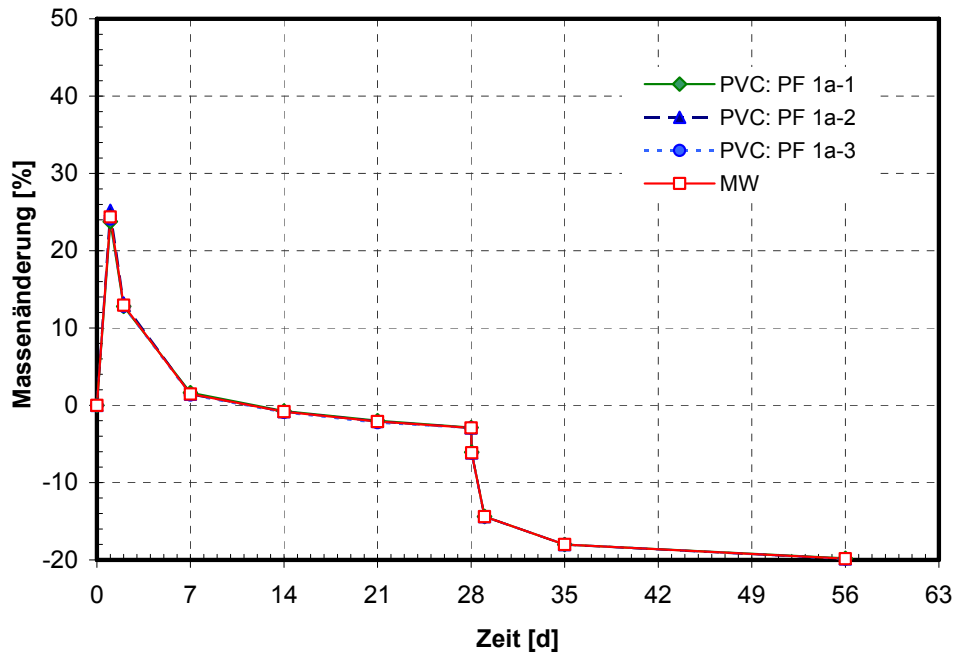


Bild 5: PVC-P Dichtungsbahn, Einlagerung in PF 1a, Masseänderung

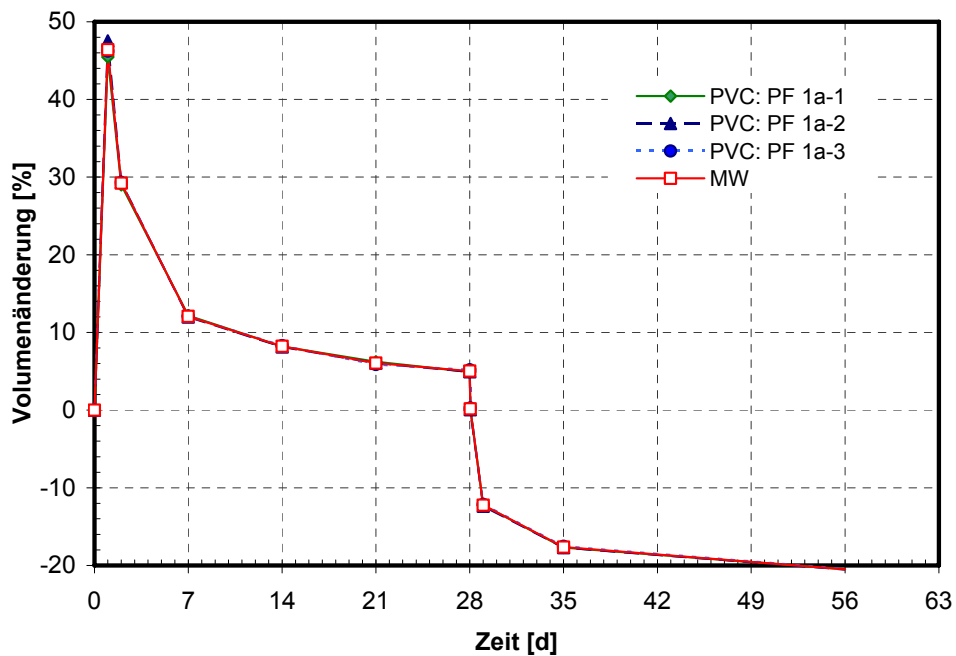


Bild 6: PVC-P Dichtungsbahn, Einlagerung in PF 1a, Volumenänderung

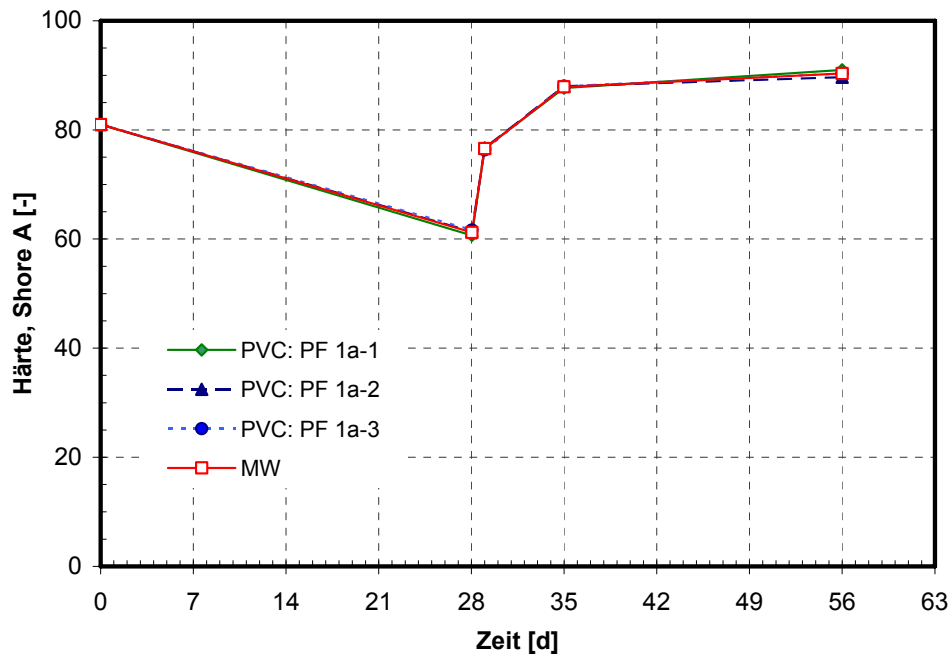


Bild 7: PVC-P Dichtungsbahn, Einlagerung in PF 1a, Härteänderung (Shore-Einheiten)

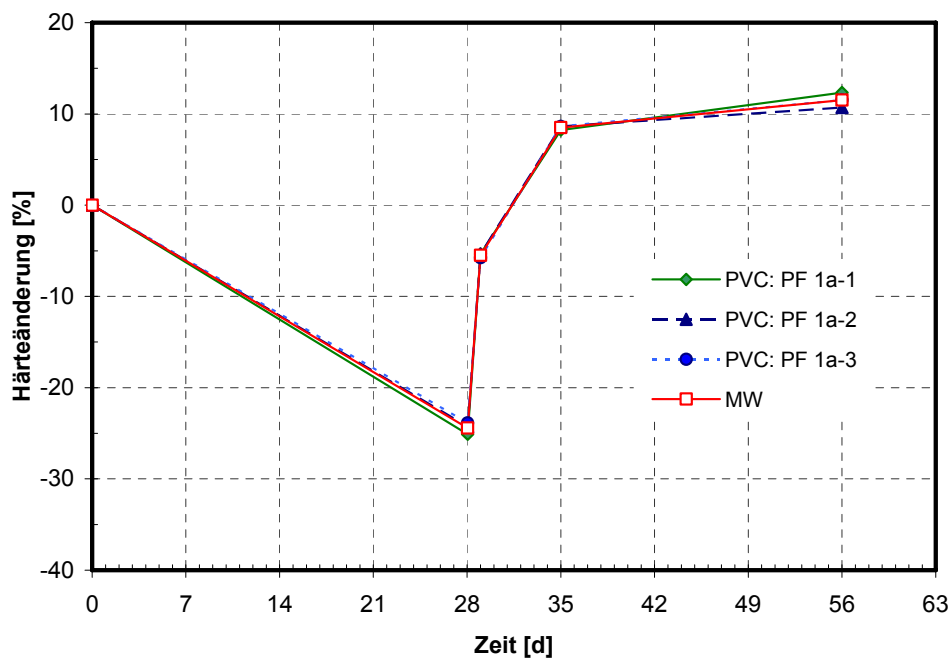


Bild 8: PVC-P Dichtungsbahn, Einlagerung in PF 1a, Härteänderung, bezogen auf die bei 23 °C, 50 % r. F. gelagerte Probe

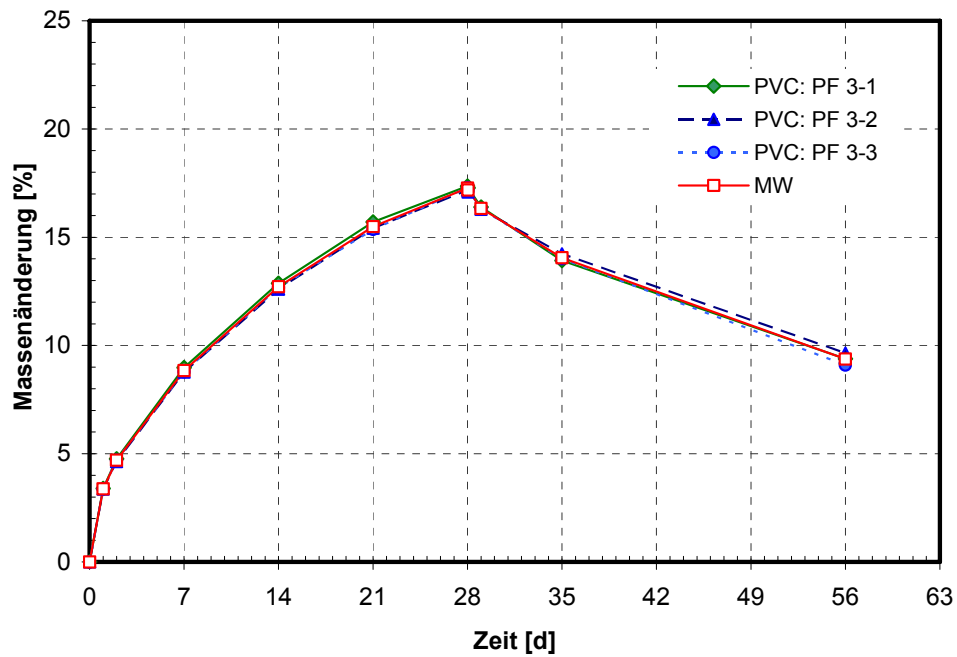


Bild 9: PVC-P Dichtungsbahn, Einlagerung in PF 3, Masseänderung

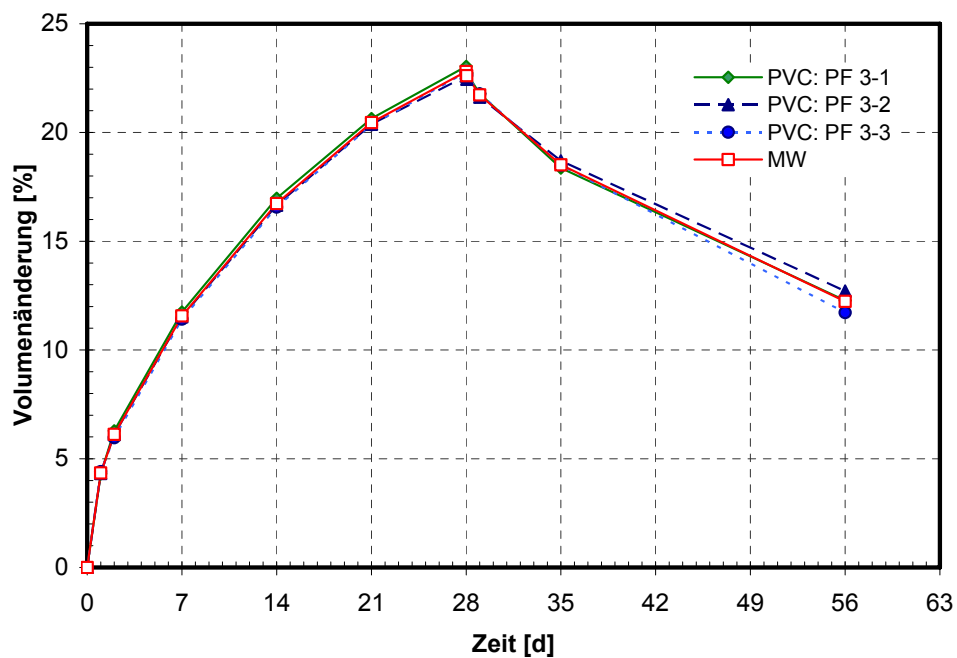


Bild 10: PVC-P Dichtungsbahn, Einlagerung in PF 3, Volumenänderung

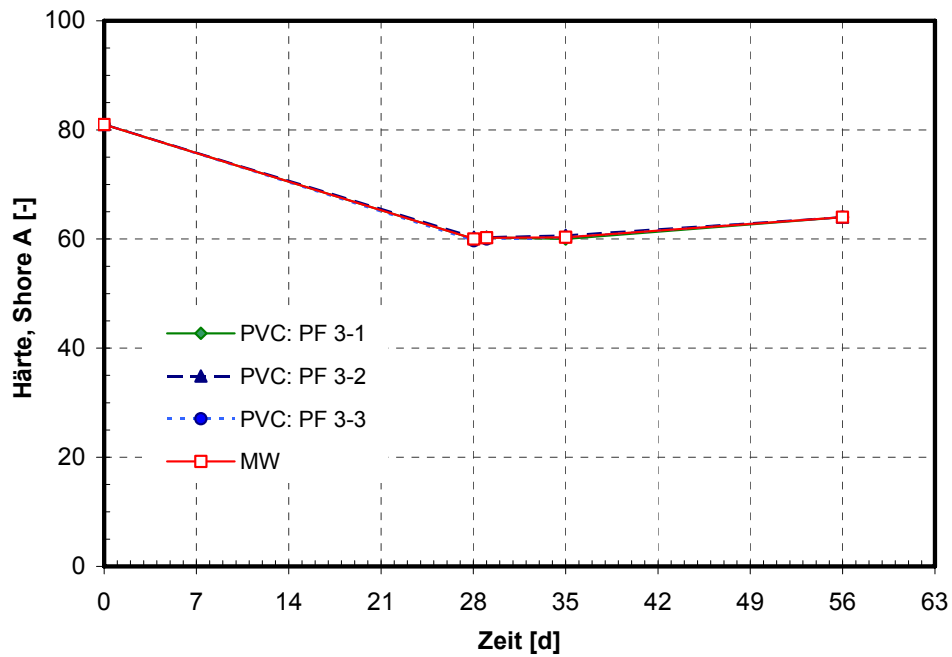


Bild 11: PVC-P Dichtungsbahn, Einlagerung in PF 3, Härteänderung (Shore-Einheiten)

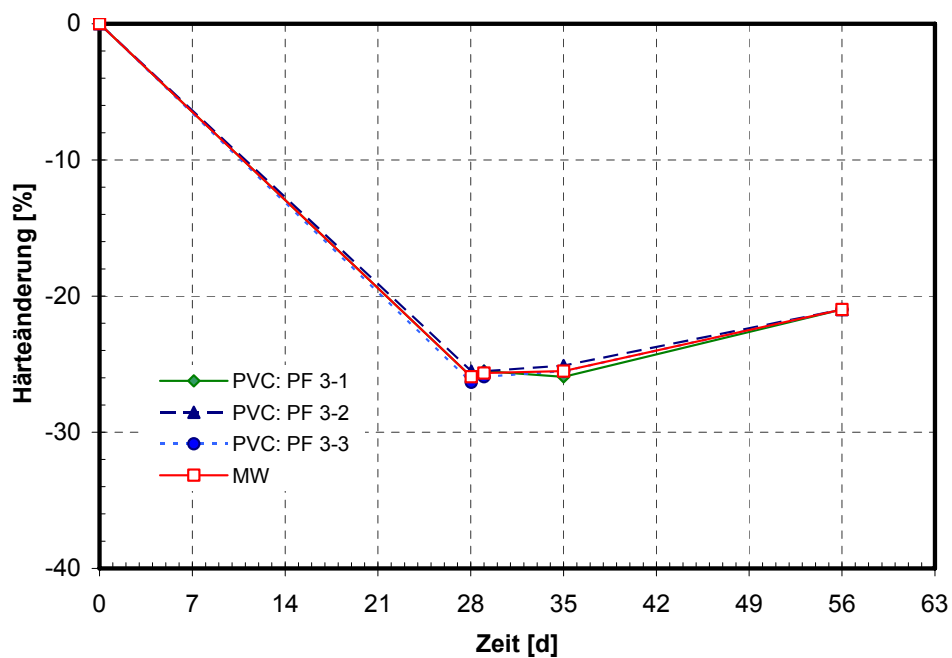


Bild 12: PVC-P Dichtungsbahn, Einlagerung in PF 3, Härteänderung, bezogen auf die bei 23 °C, 50 % r. F. gelagerte Probe

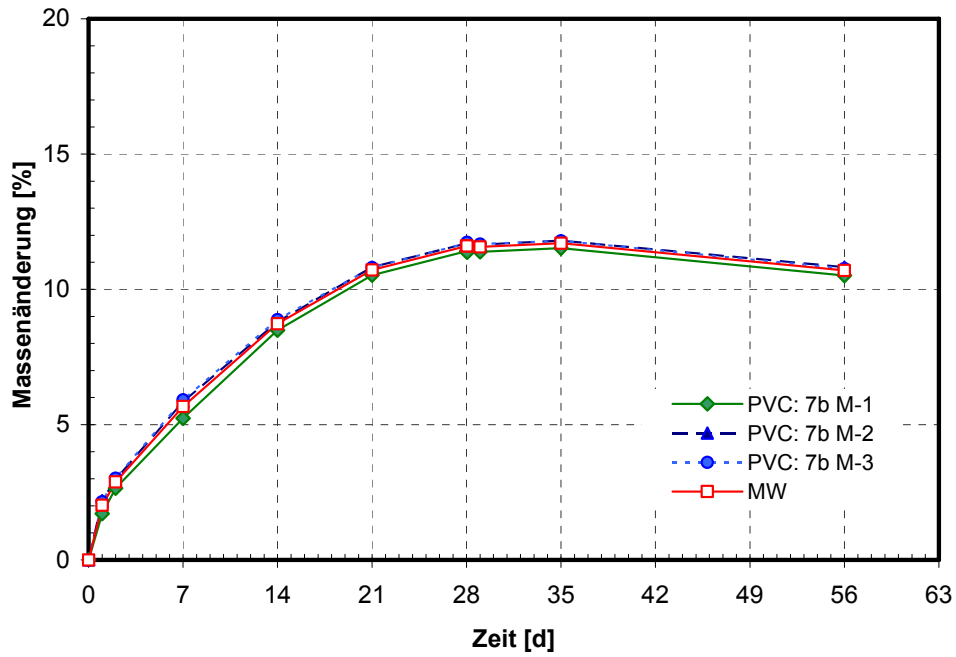


Bild 13: PVC-P Dichtungsbahn, Einlagerung in 7b M, Masseänderung

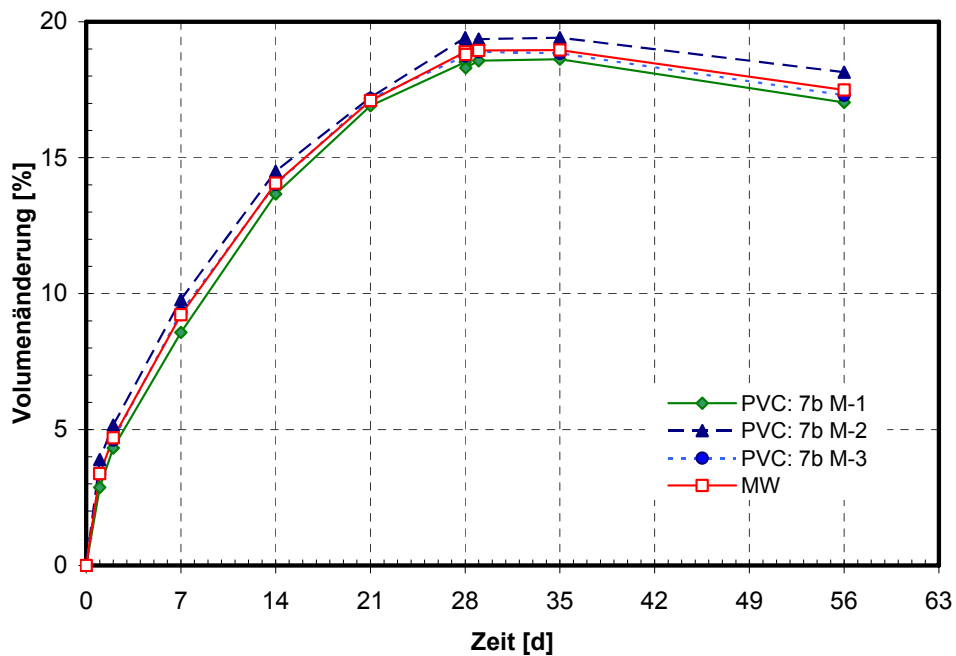


Bild 14: PVC-P Dichtungsbahn, Einlagerung in 7b M, Volumenänderung

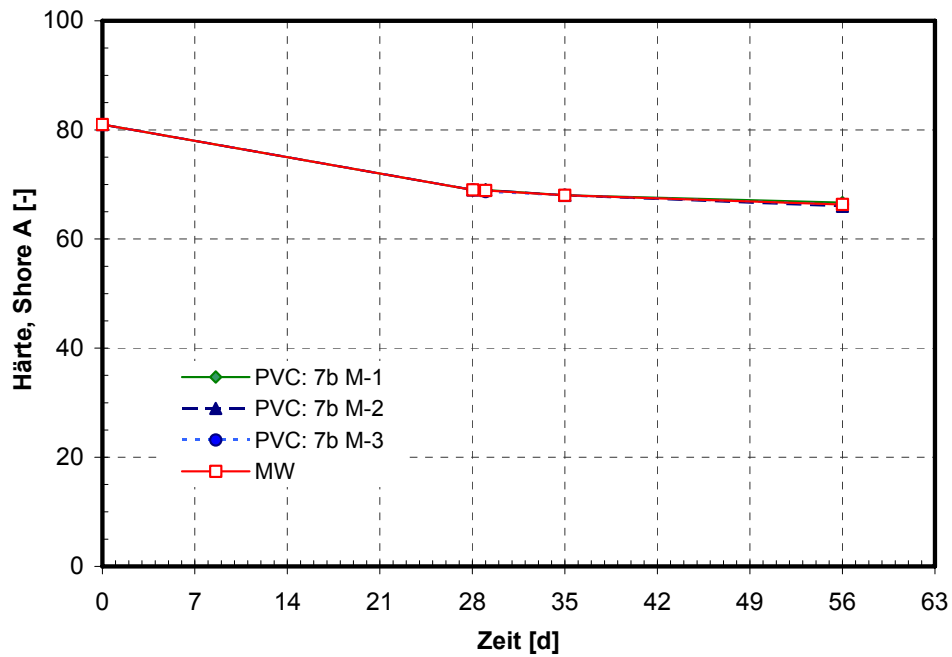


Bild 15: PVC-P Dichtungsbahn, Einlagerung in 7b M, Härteänderung (Shore-Einheiten)

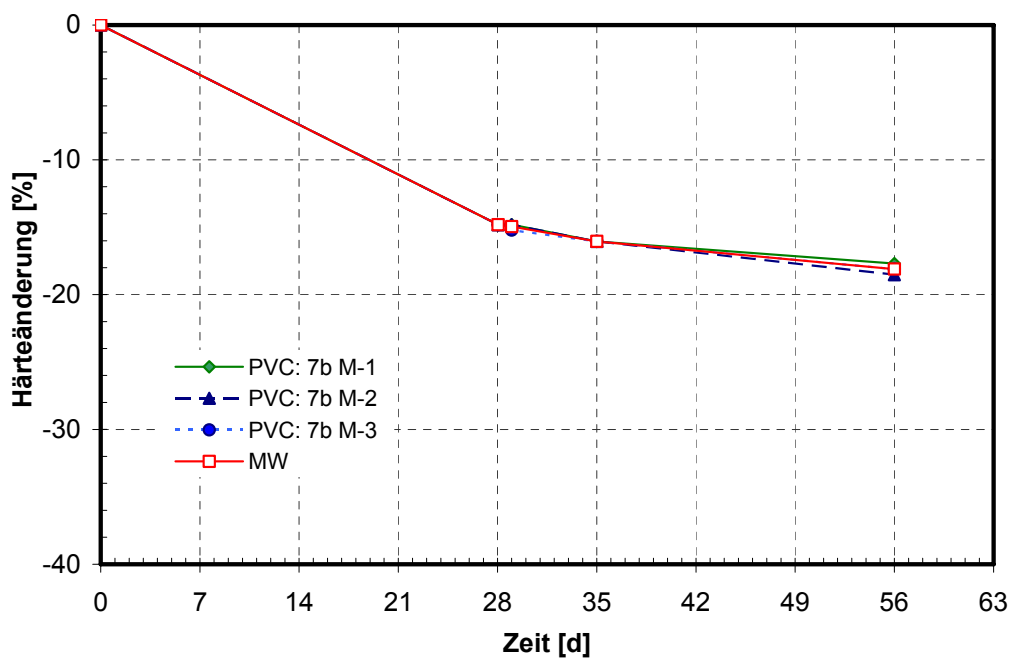


Bild 16: PVC-P Dichtungsbahn, Einlagerung in 7b M, Härteänderung, bezogen auf die bei 23 °C, 50 % r. F. gelagerte Probe



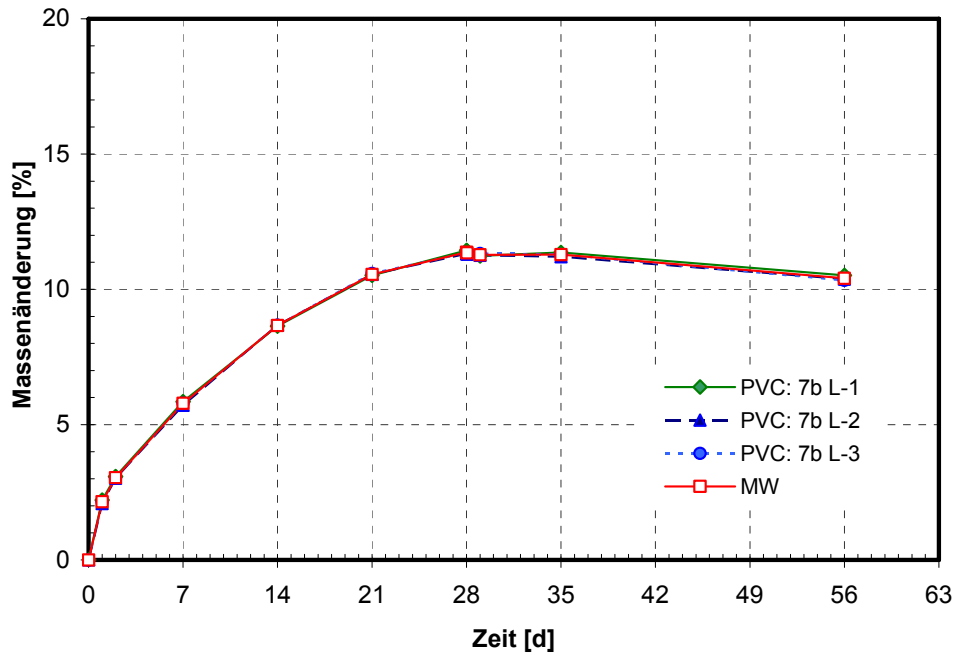


Bild 17: PVC-P Dichtungsbahn, Einlagerung in 7b L, Masseänderung

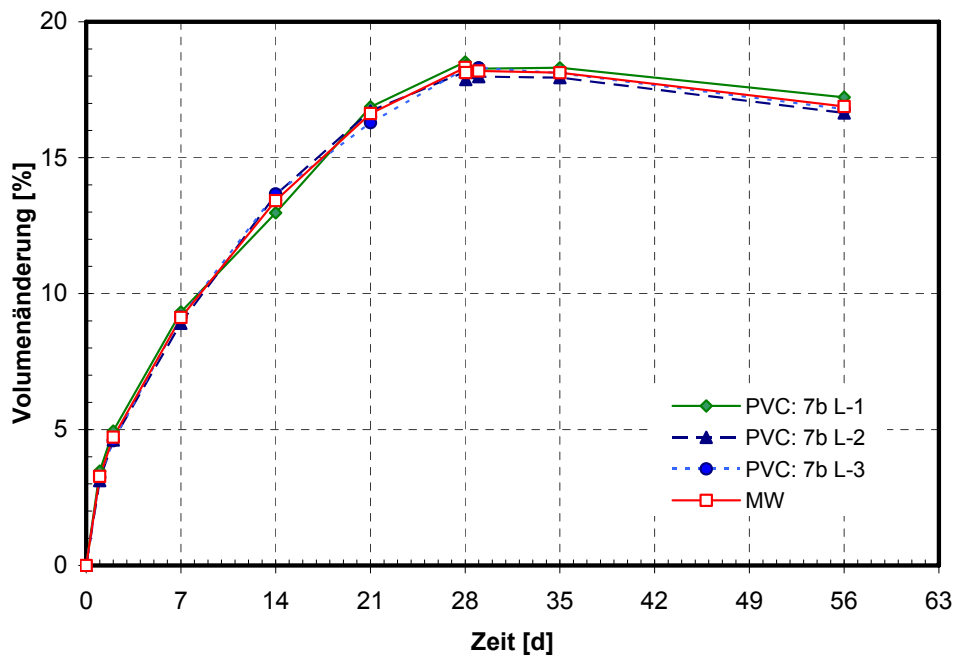


Bild 18: PVC-P Dichtungsbahn, Einlagerung in 7b L, Volumenänderung

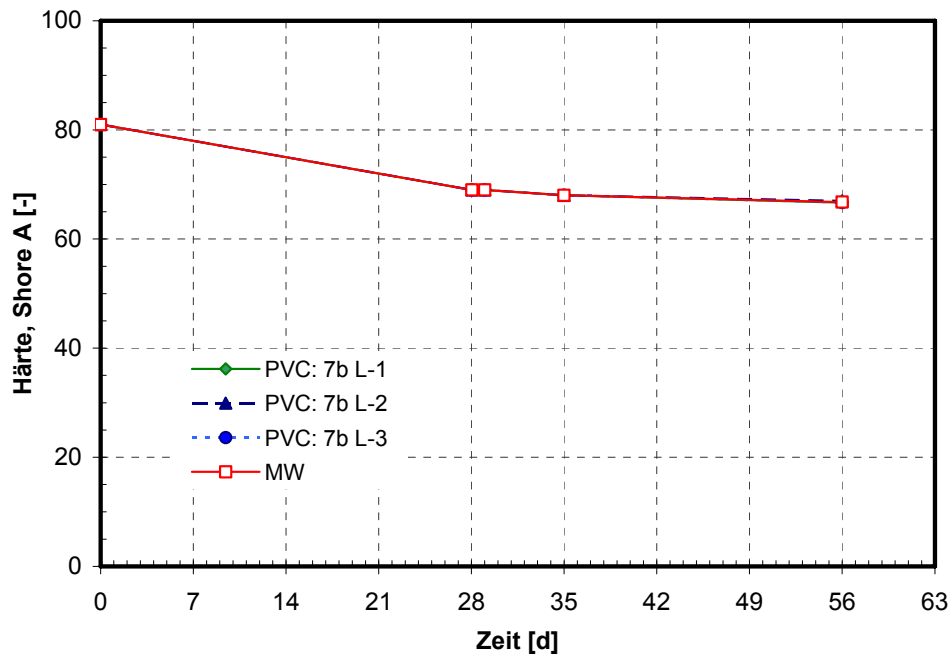


Bild 19: PVC-P Dichtungsbahn, Einlagerung in 7b L, Härteänderung (Shore-Einheiten)

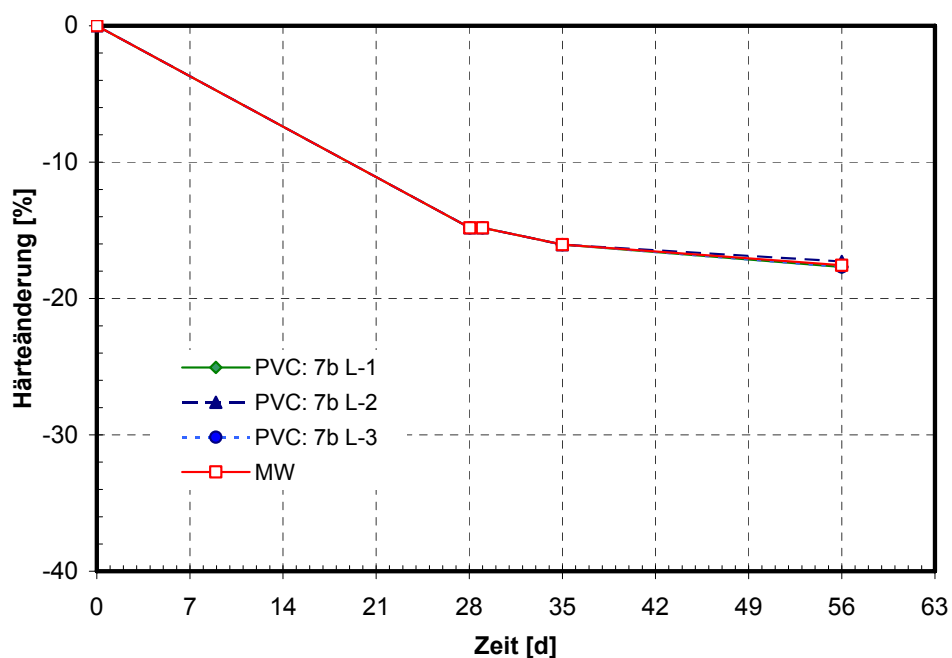


Bild 20: PVC-P Dichtungsbahn, Einlagerung in 7b L, Härteänderung, bezogen auf die bei 23 °C, 50 % r. F. gelagerte Probe

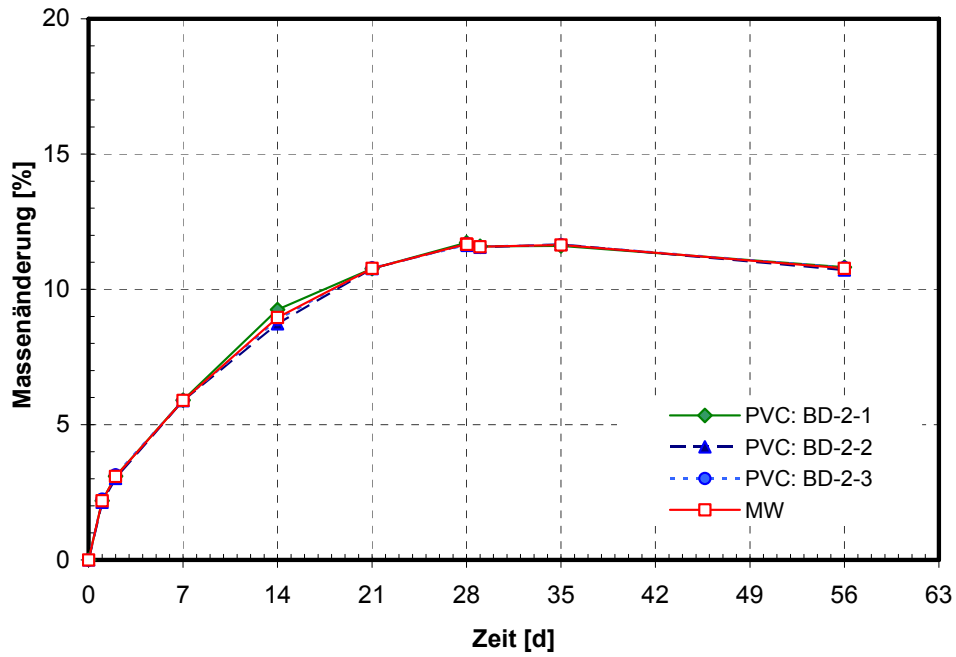


Bild 21: PVC-P Dichtungsbahn, Einlagerung in BD-2, Masseänderung

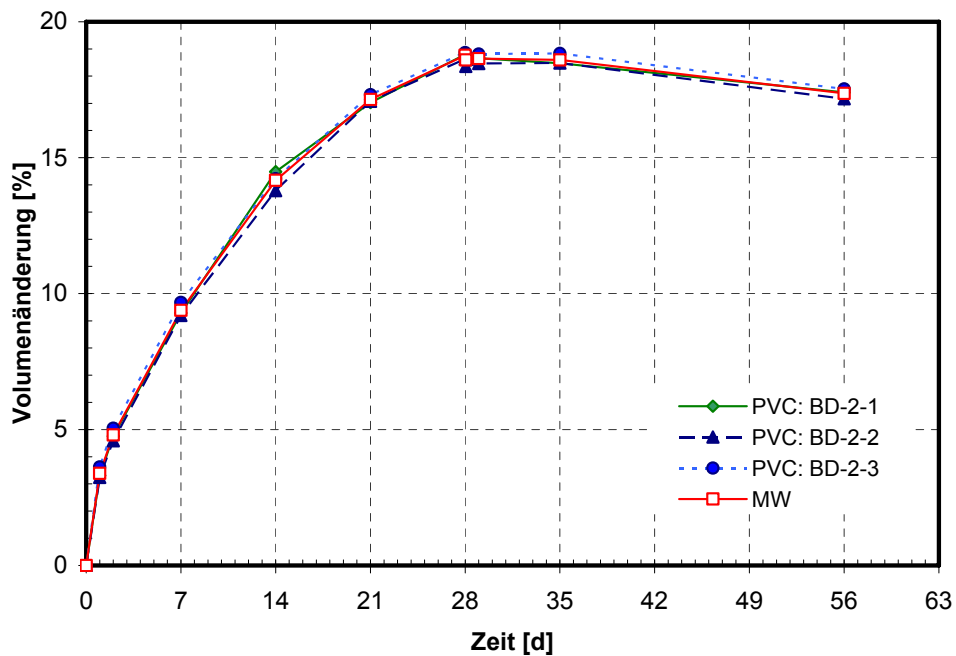


Bild 22: PVC-P Dichtungsbahn, Einlagerung in BD-2, Volumenänderung

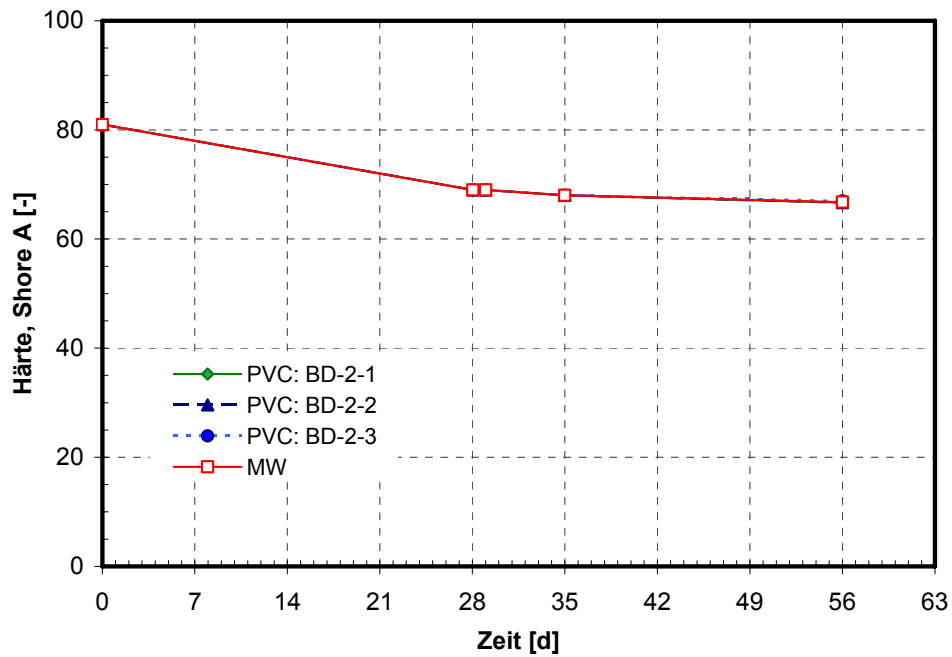


Bild 23: PVC-P Dichtungsbahn, Einlagerung in BD-2, Härteänderung (Shore-Einheiten)

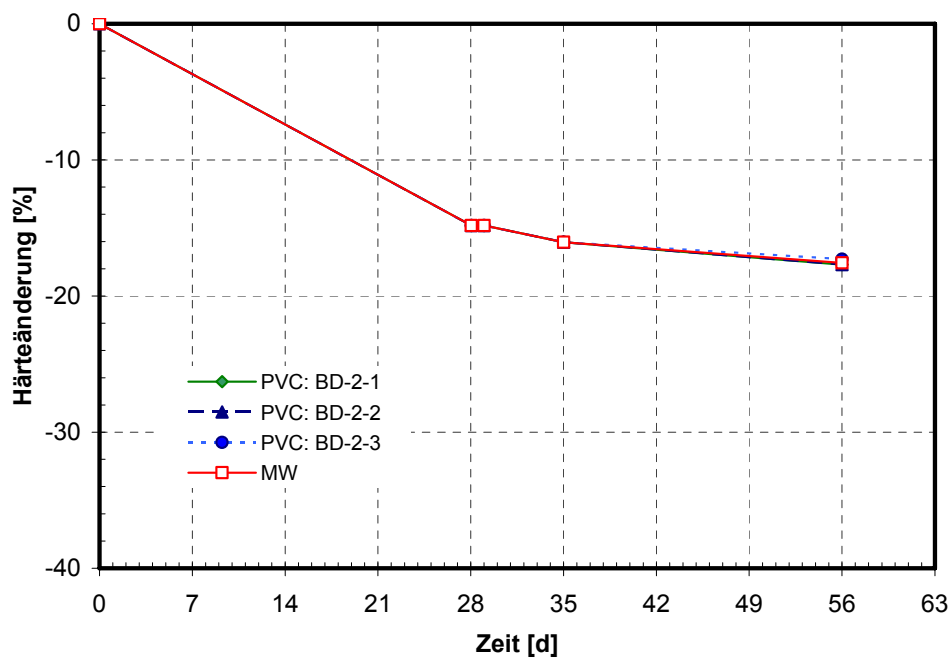


Bild 24: PVC-P Dichtungsbahn, Einlagerung in BD-2, Härteänderung, bezogen auf die bei 23 °C, 50 % r. F. gelagerte Probe

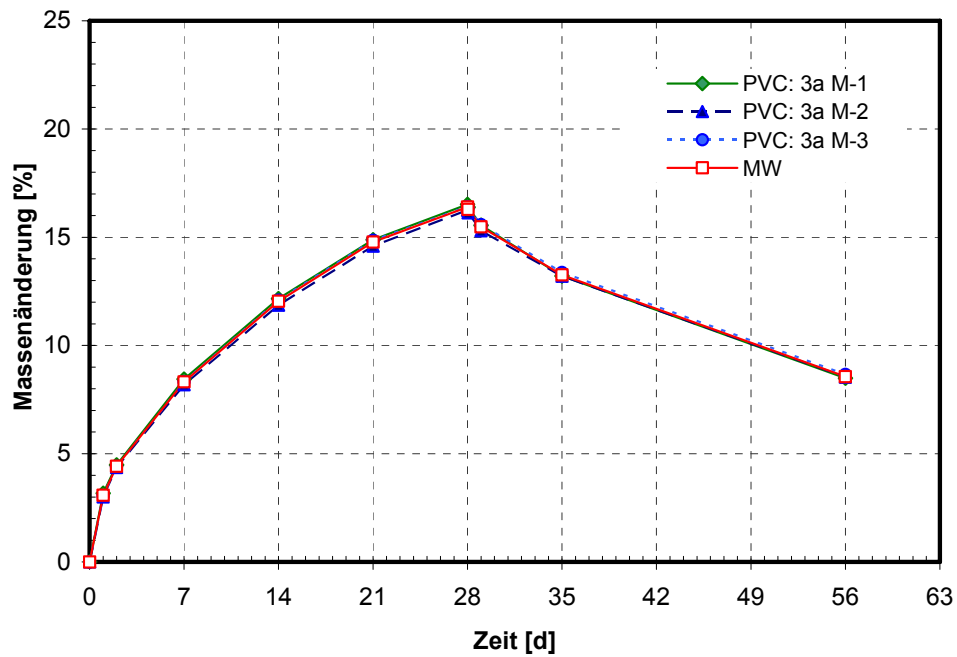


Bild 25: PVC-P Dichtungsbahn, Einlagerung in 3a M, Masseänderung

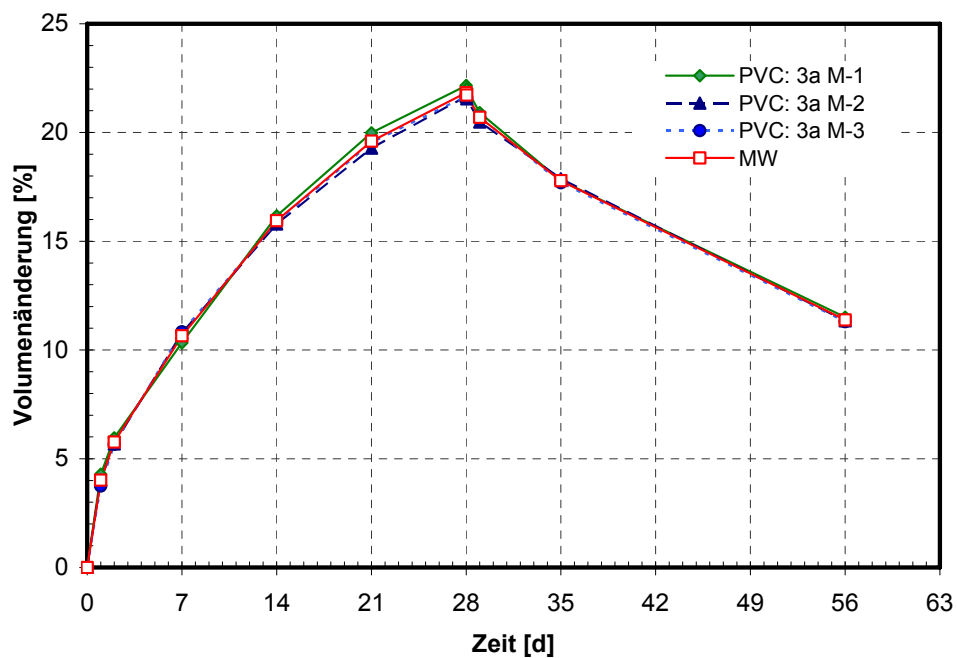


Bild 26: PVC-P Dichtungsbahn, Einlagerung in 3a M, Volumenänderung

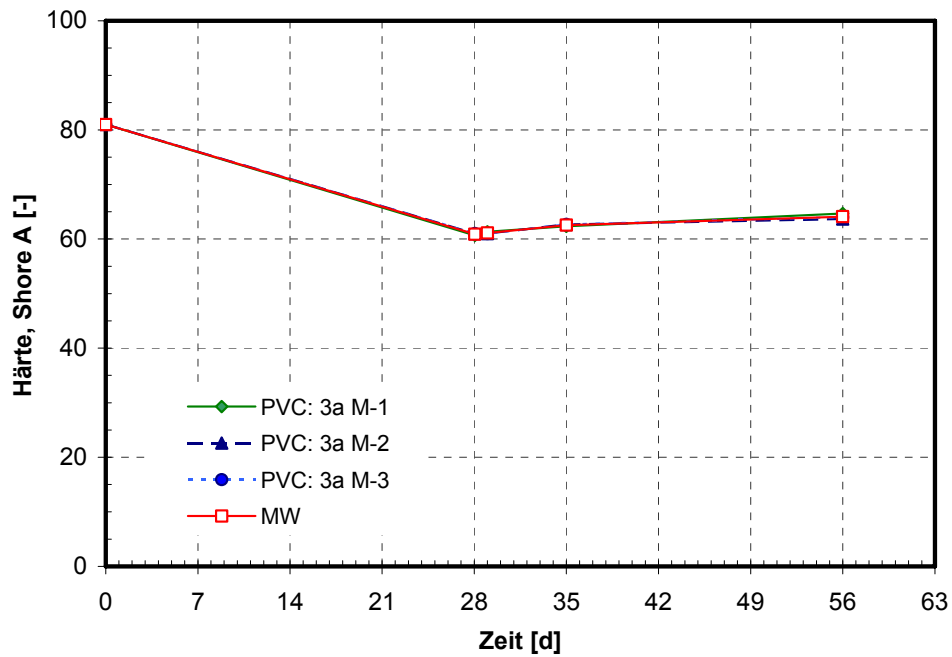


Bild 27: PVC-P Dichtungsbahn, Einlagerung in 3a M, Härteänderung (Shore-Einheiten)

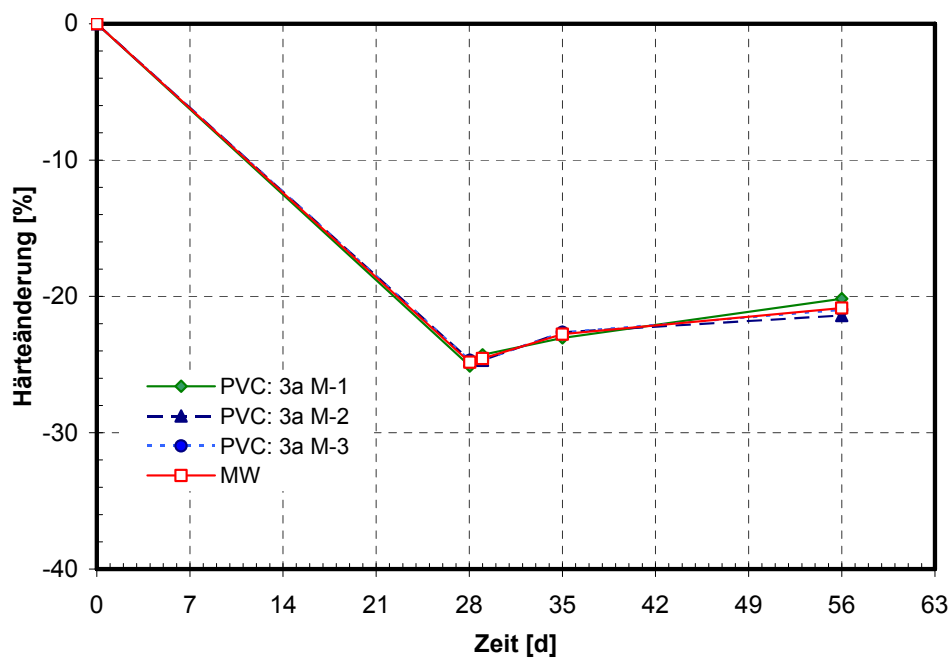


Bild 28: PVC-P Dichtungsbahn, Einlagerung in 3a M, Härteänderung, bezogen auf die bei 23 °C, 50 % r. F. gelagerte Probe

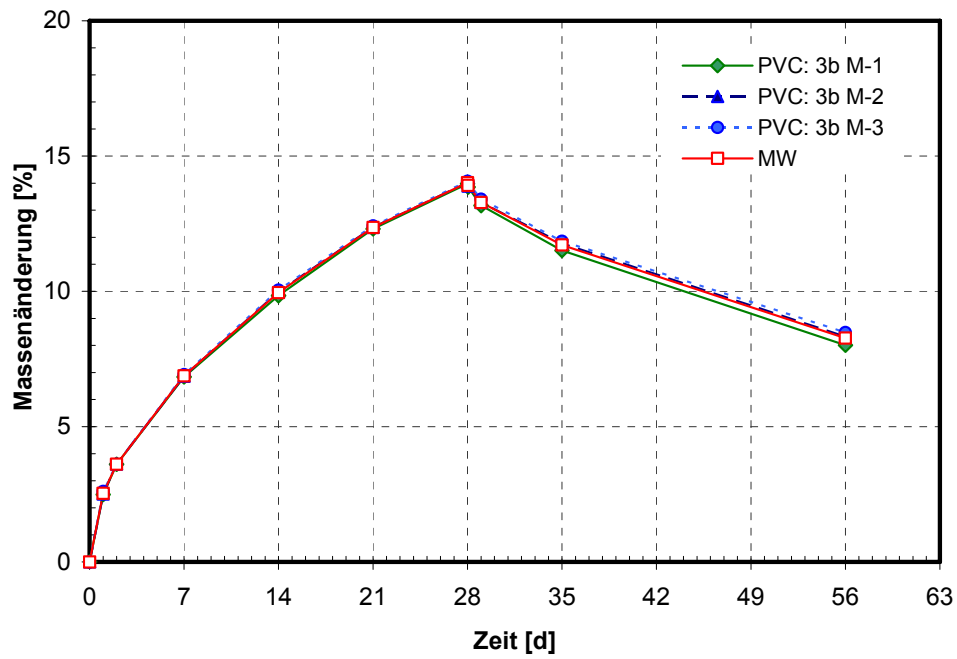


Bild 29: PVC-P Dichtungsbahn, Einlagerung in 3b M, Masseänderung

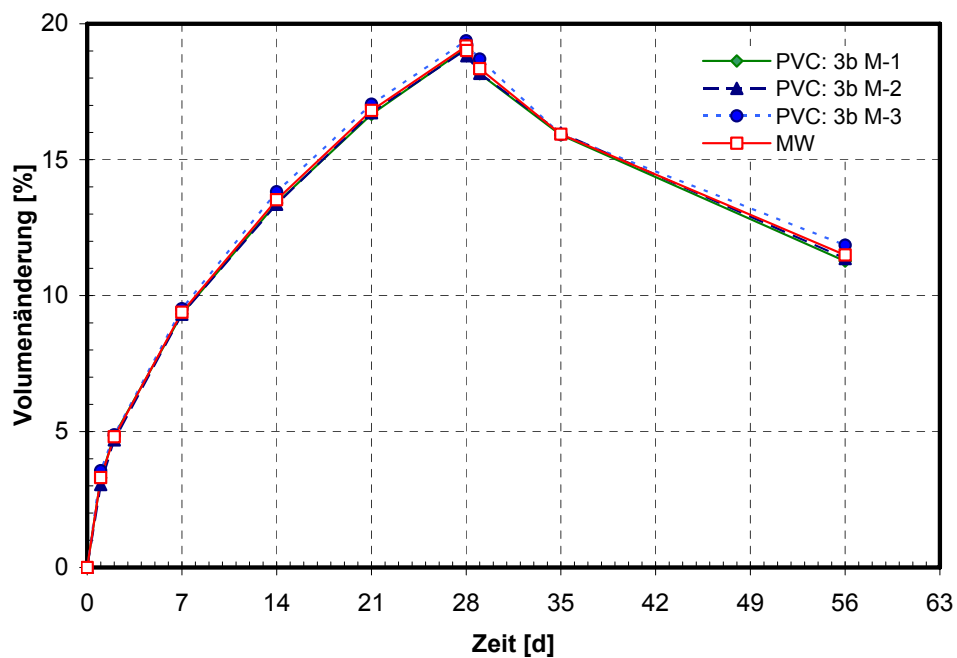


Bild 30: PVC-P Dichtungsbahn, Einlagerung in 3b M, Volumenänderung

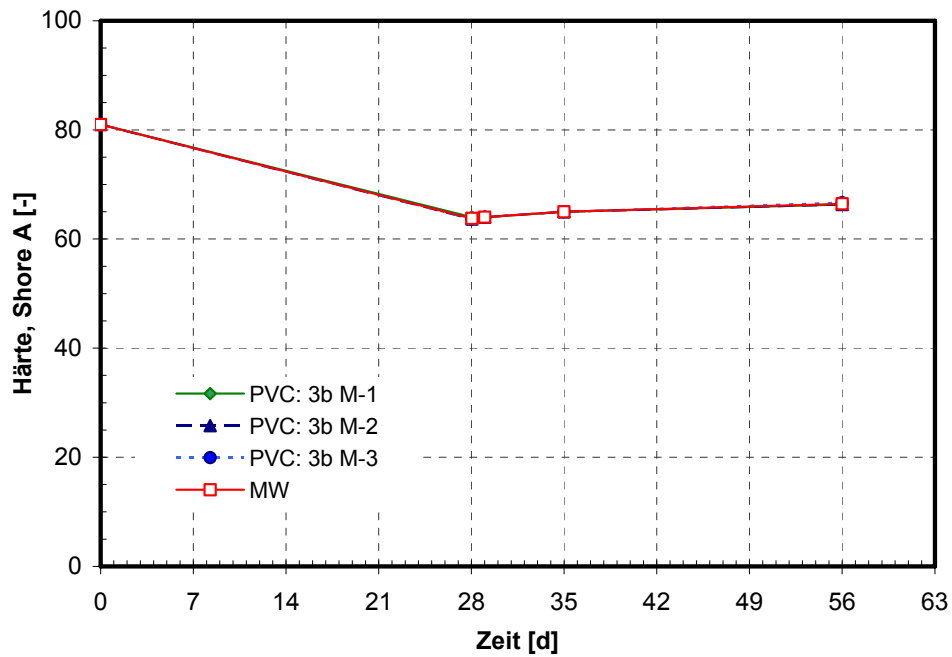


Bild 31: PVC-P Dichtungsbahn, Einlagerung in 3b M, Härteänderung (Shore-Einheiten)

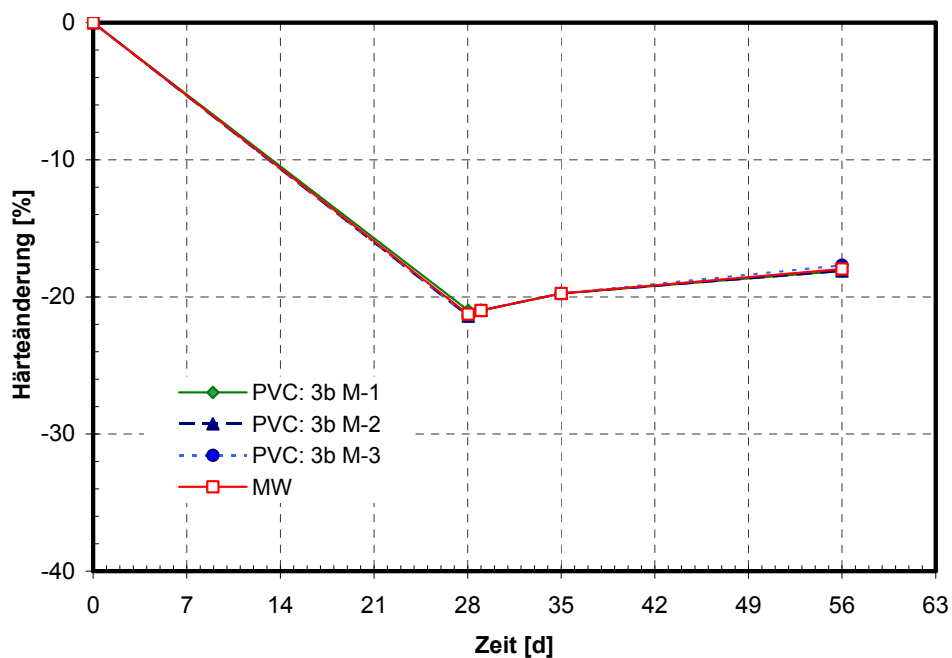


Bild 32: PVC-P Dichtungsbahn, Einlagerung in 3b M, Härteänderung, bezogen auf die bei 23 °C, 50 % r. F. gelagerte Probe



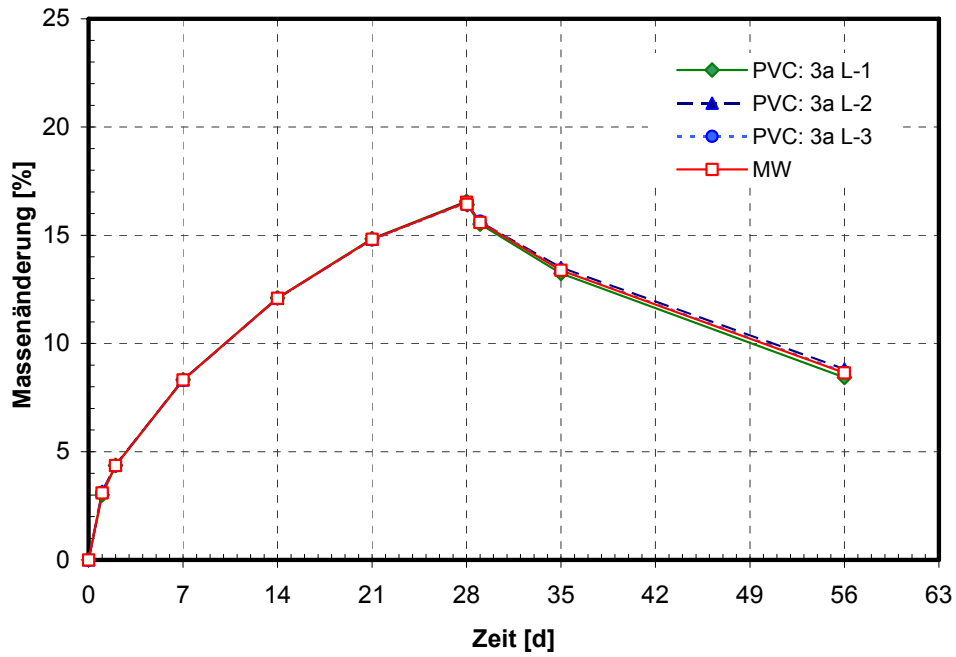


Bild 33: PVC-P Dichtungsbahn, Einlagerung in 3a L, Masseänderung

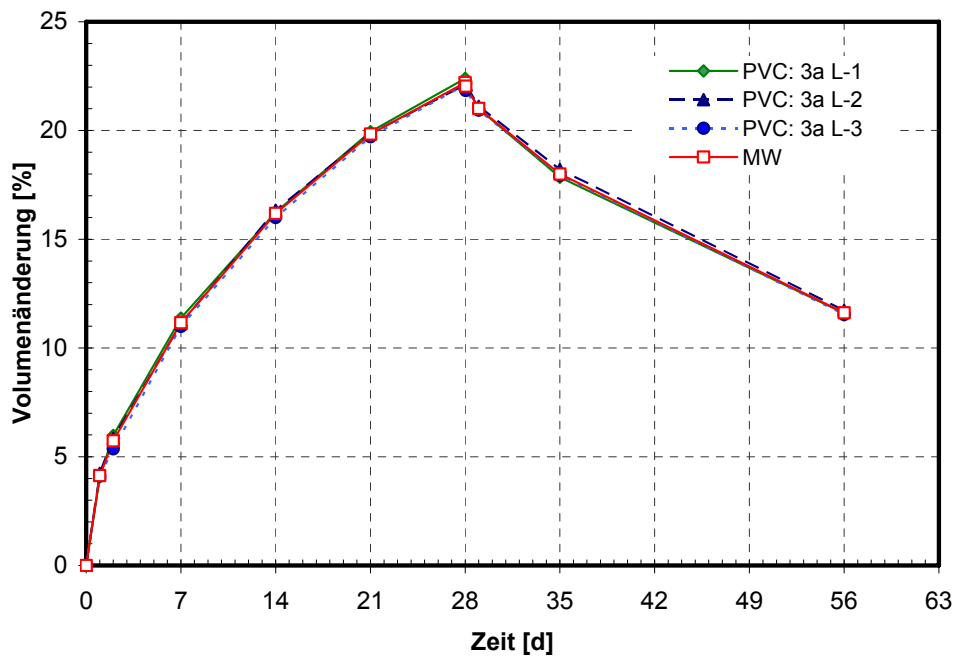


Bild 34: PVC-P Dichtungsbahn, Einlagerung in 3a L, Volumenänderung

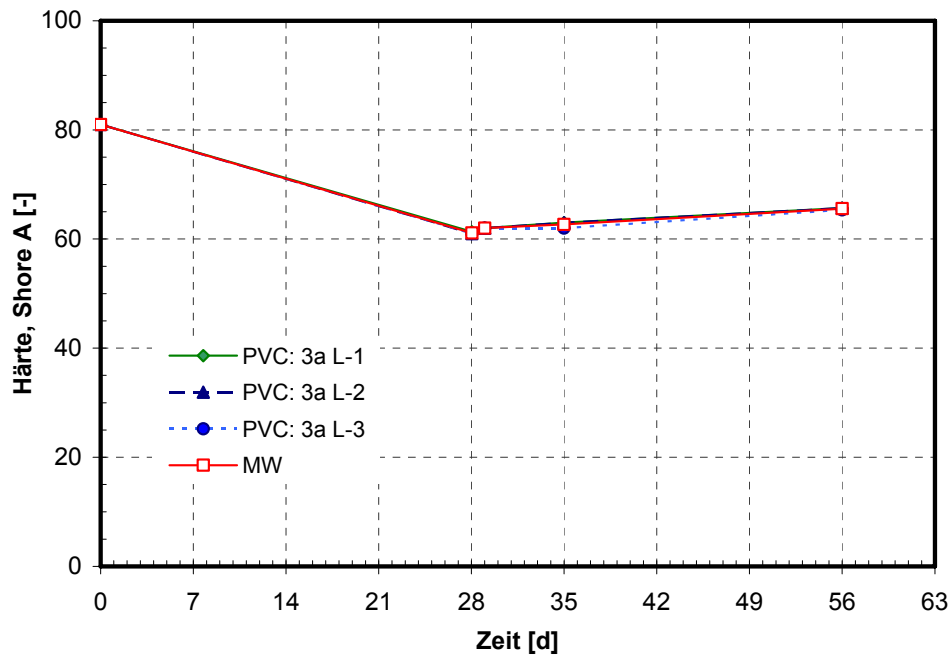


Bild 35: PVC-P Dichtungsbahn, Einlagerung in 3a L, Härteänderung (Shore-Einheiten)

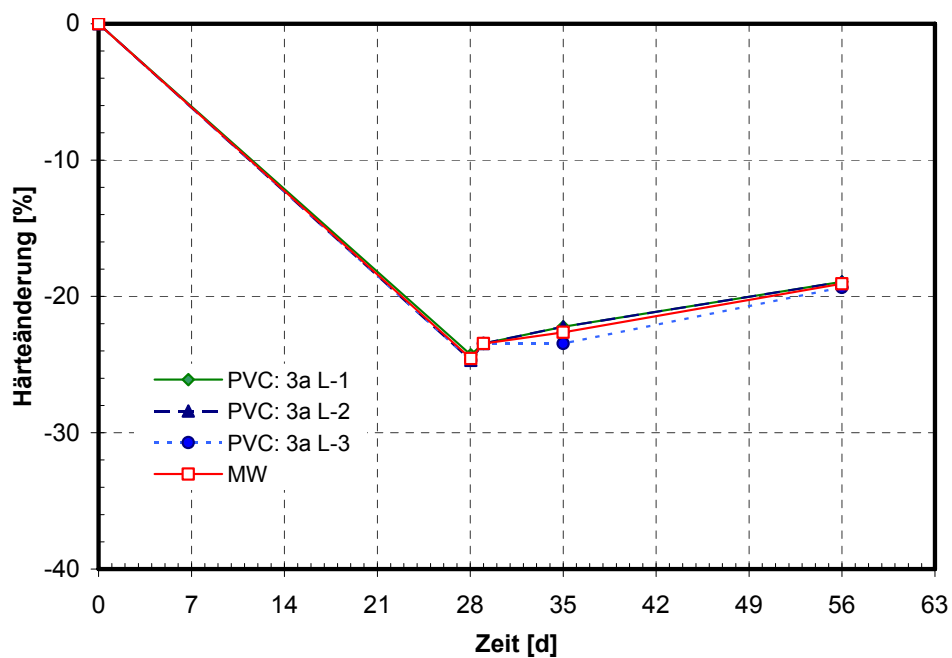


Bild 36: PVC-P Dichtungsbahn, Einlagerung in 3a L, Härteänderung, bezogen auf die bei 23 °C, 50 % r. F. gelagerte Probe

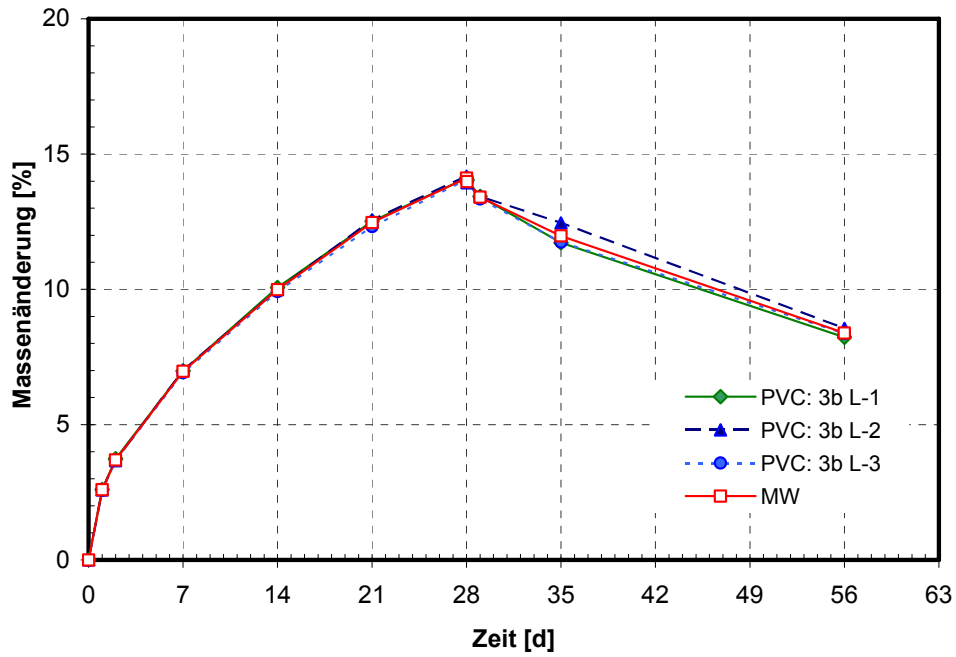


Bild 37: PVC-P Dichtungsbahn, Einlagerung in 3b L, Masseänderung

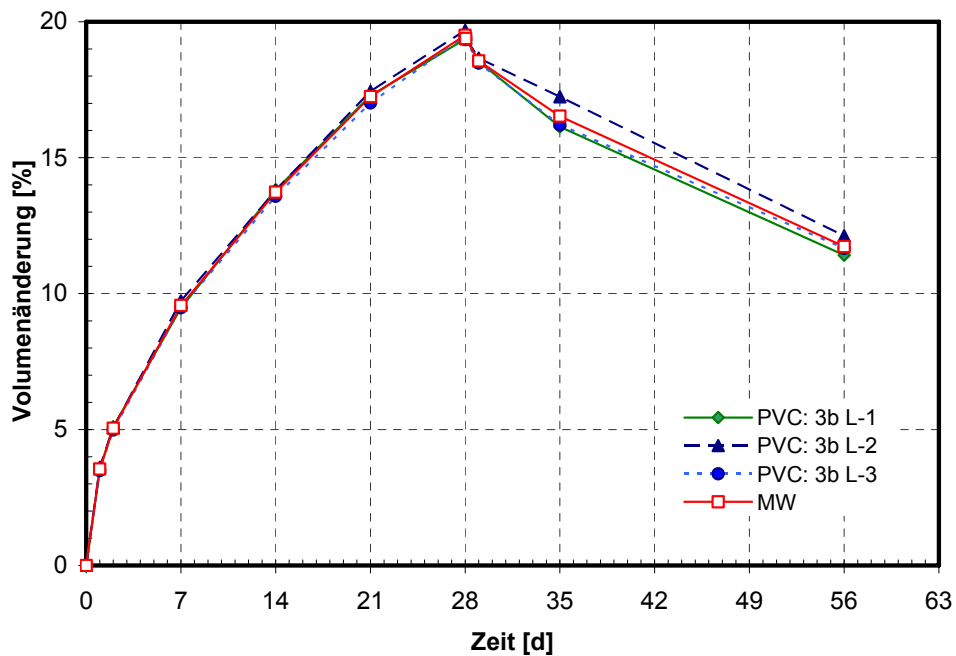


Bild 38: PVC-P Dichtungsbahn, Einlagerung in 3b L, Volumenänderung

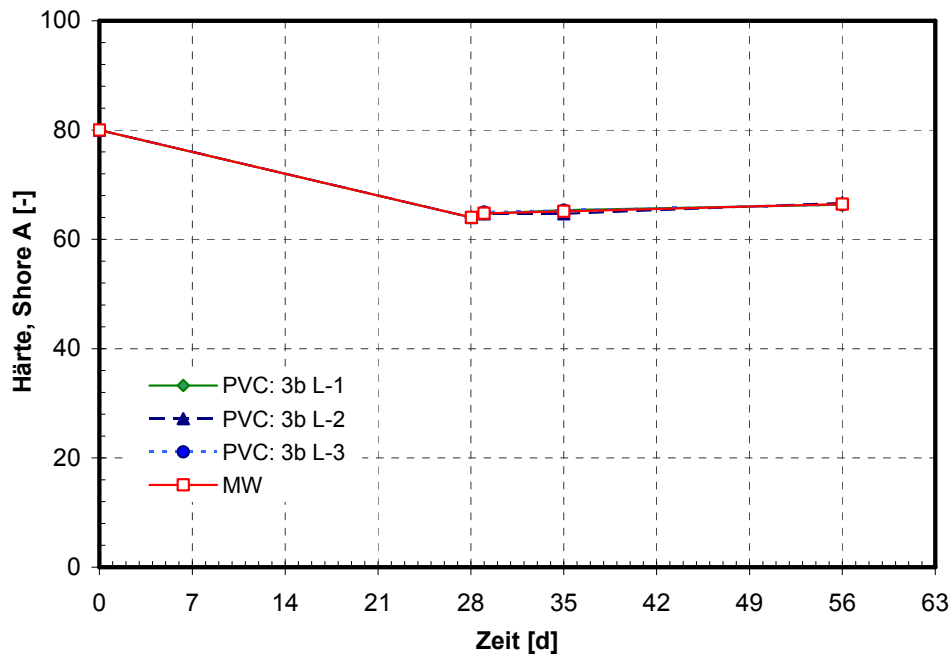


Bild 39: PVC-P Dichtungsbahn, Einlagerung in 3b L, Härteänderung (Shore-Einheiten)

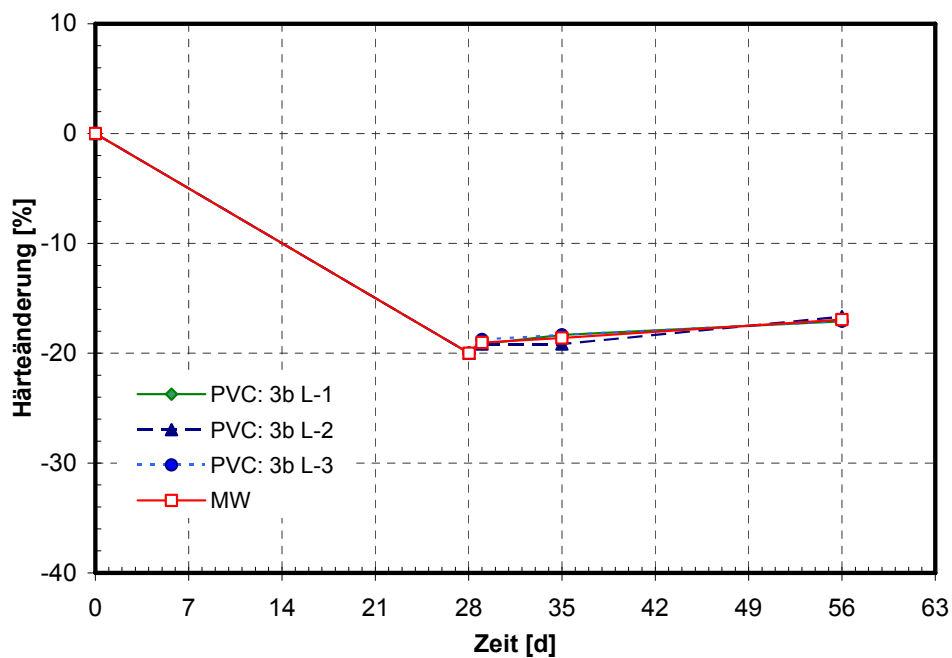


Bild 40: PVC-P Dichtungsbahn, Einlagerung in 3b L, Härteänderung, bezogen auf die bei 23 °C, 50 % r. F. gelagerte Probe

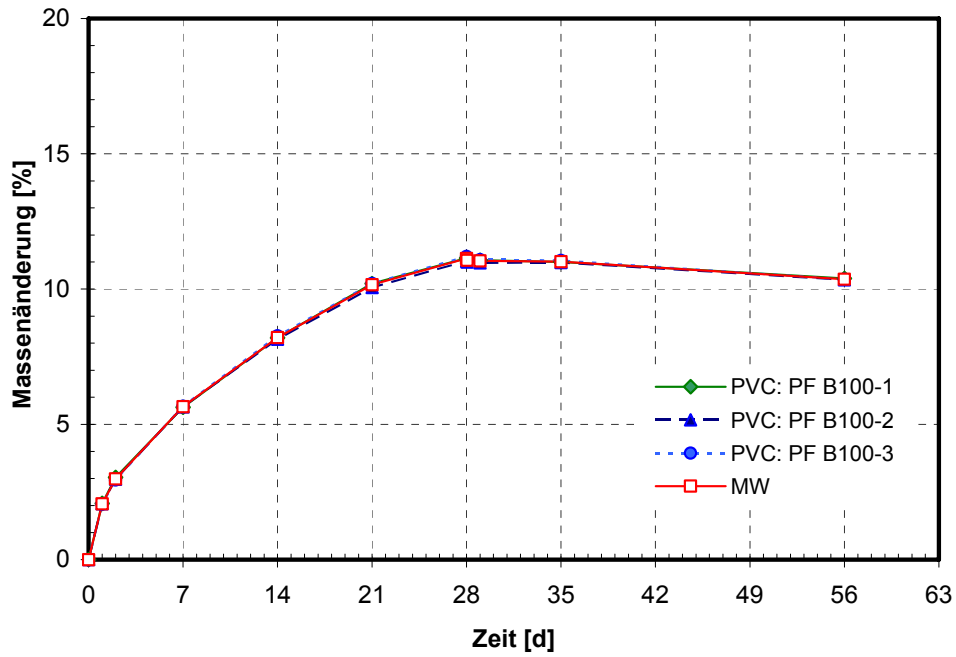


Bild 41: PVC-P Dichtungsbahn, Einlagerung in PF B100, Masseänderung

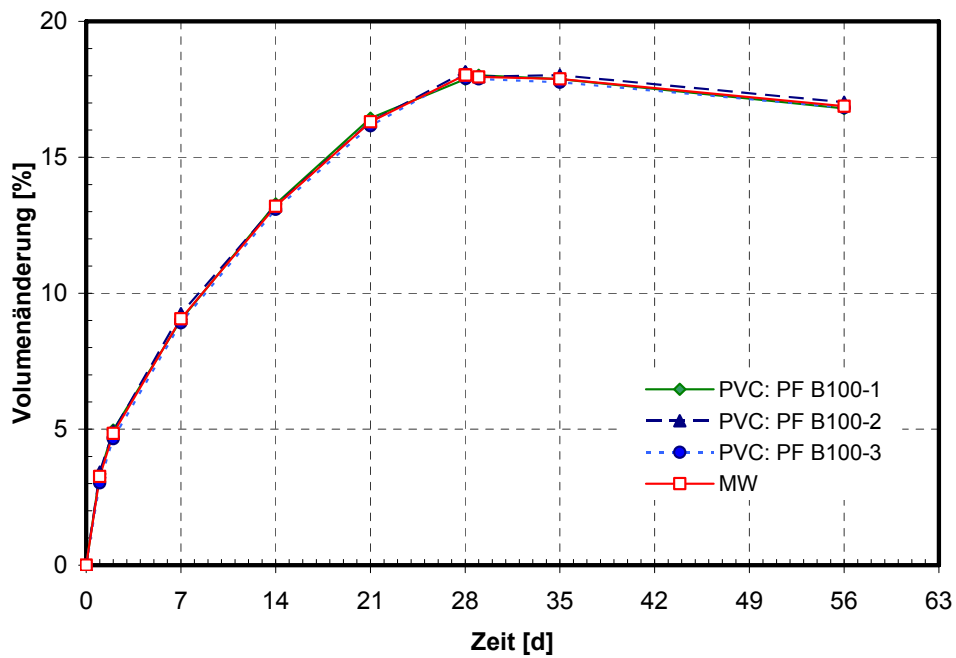


Bild 42: PVC-P Dichtungsbahn, Einlagerung in PF B100, Volumenänderung

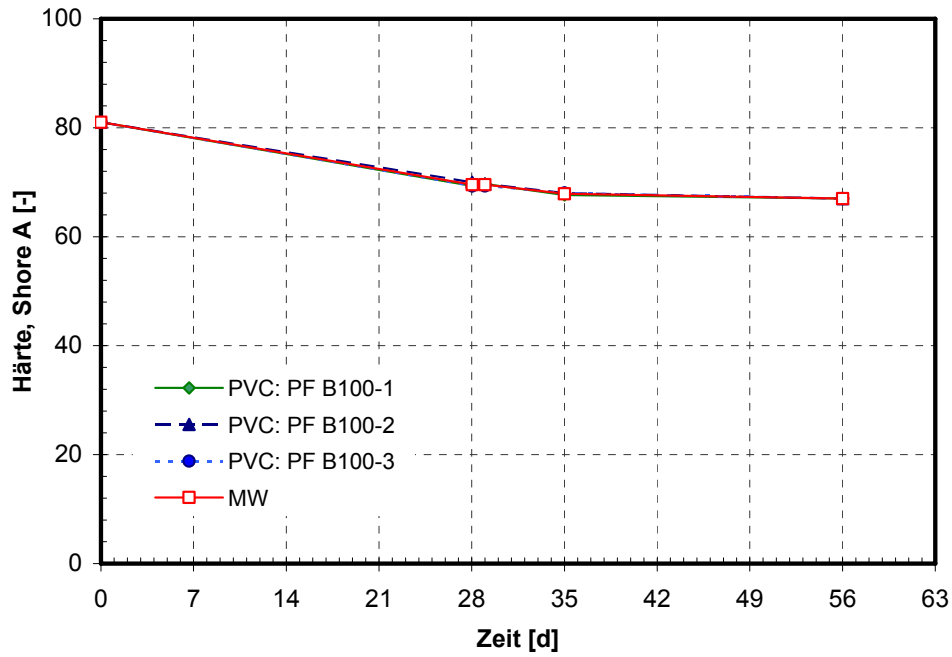


Bild 43: PVC-P Dichtungsbahn, Einlagerung in PF B100, Härteänderung (Shore-Einheiten)

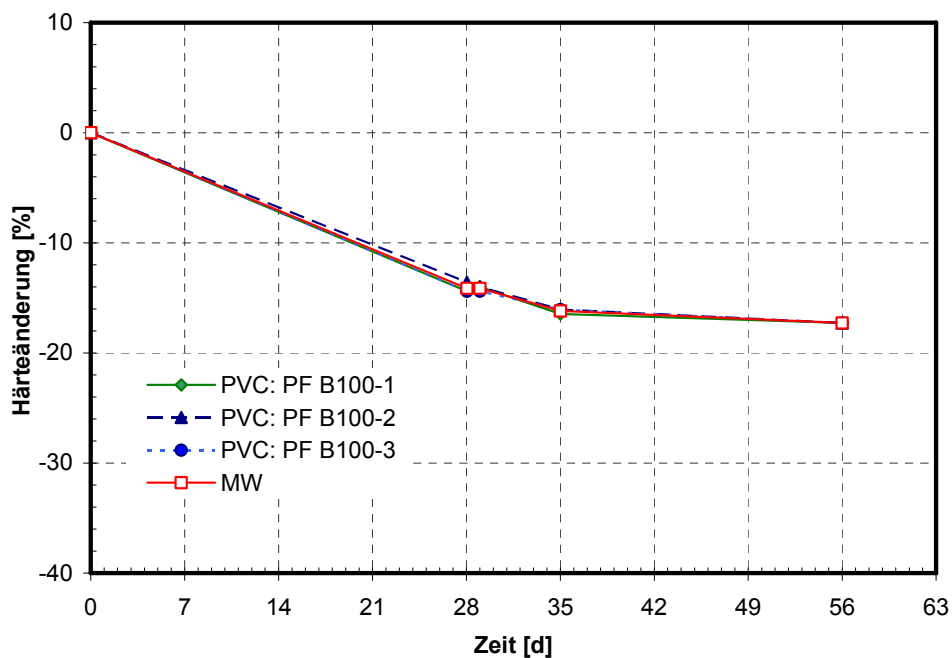


Bild 44: PVC-P Dichtungsbahn, Einlagerung in PF B100, Härteänderung, bezogen auf die bei 23 °C, 50 % r. F. gelagerte Probe

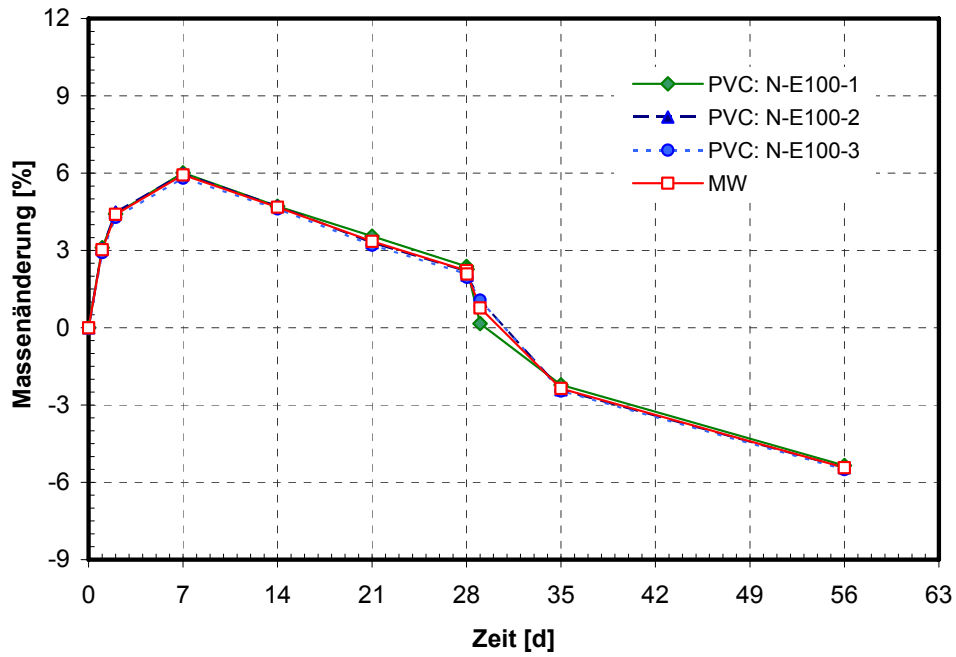


Bild 45: PVC-P Dichtungsbahn, Einlagerung in N-E100, Masseänderung

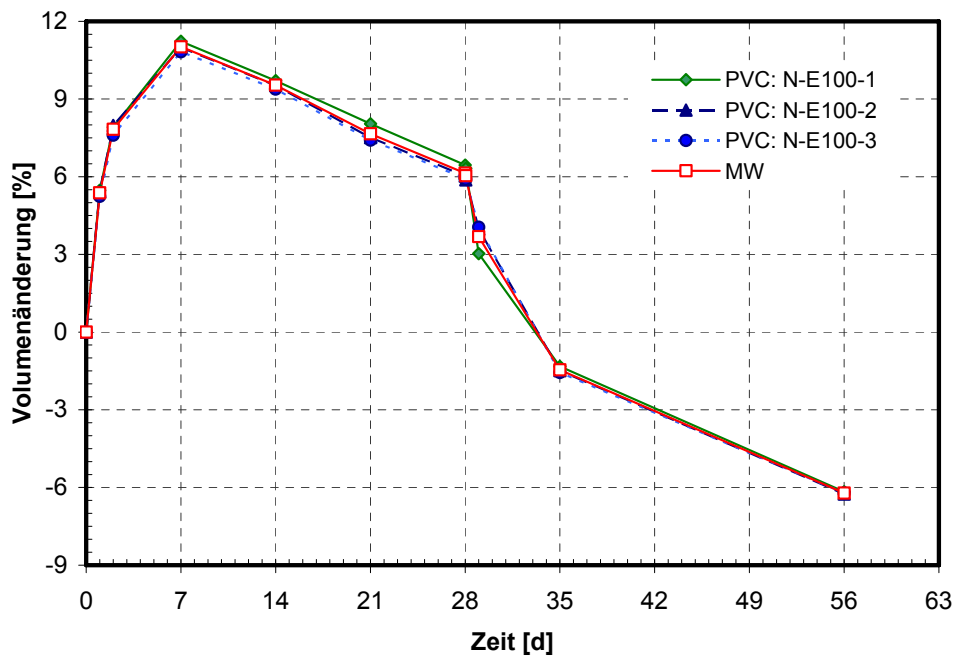


Bild 46: PVC-P Dichtungsbahn, Einlagerung in N-E100, Volumenänderung

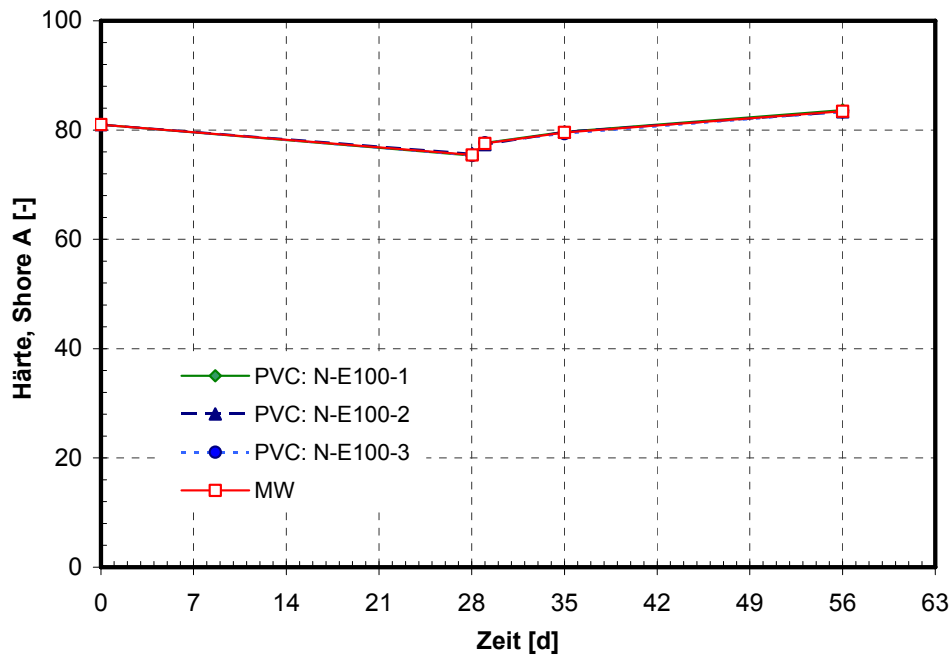


Bild 47: PVC-P Dichtungsbahn, Einlagerung in N-E100, Härteänderung (Shore-Einheiten)

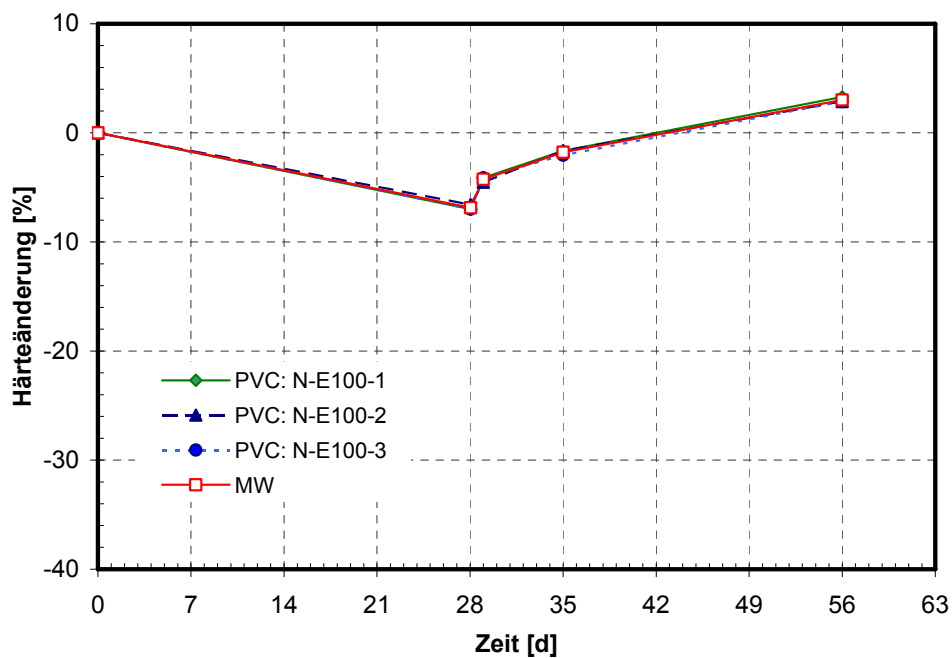


Bild 48: PVC-P Dichtungsbahn, Einlagerung in N-E100, Härteänderung, bezogen auf die bei 23 °C, 50 % r. F. gelagerte Probe



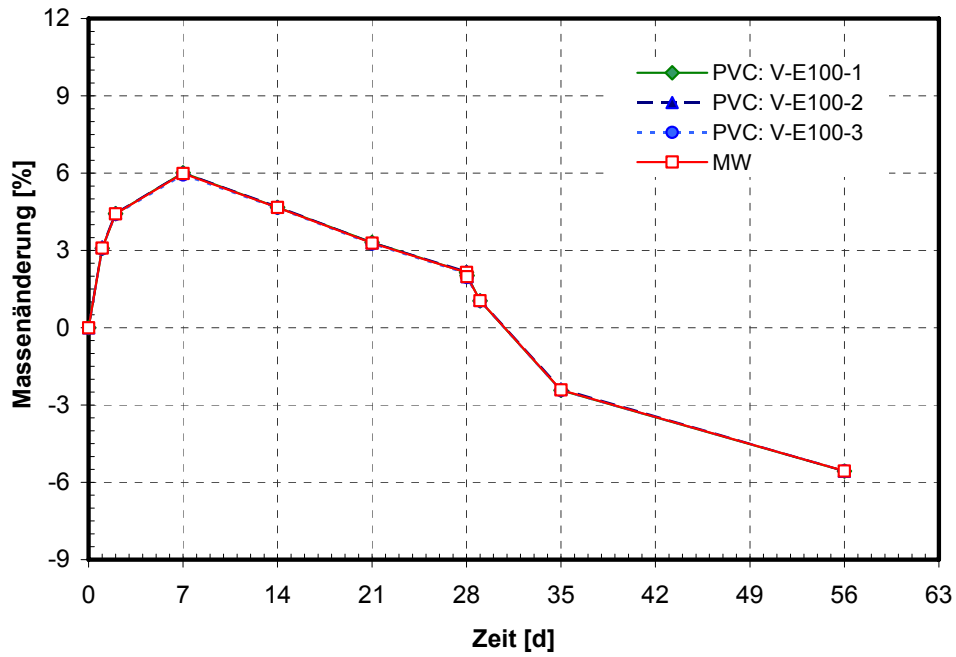


Bild 49: PVC-P Dichtungsbahn, Einlagerung in V-E100, Masseänderung

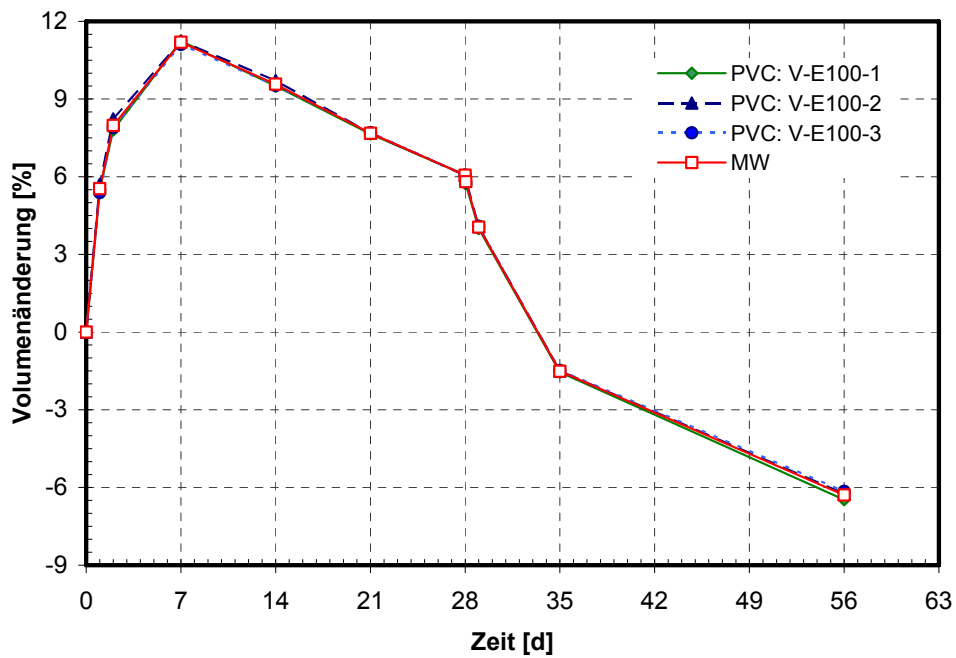


Bild 50: PVC-P Dichtungsbahn, Einlagerung in V-E100, Volumenänderung

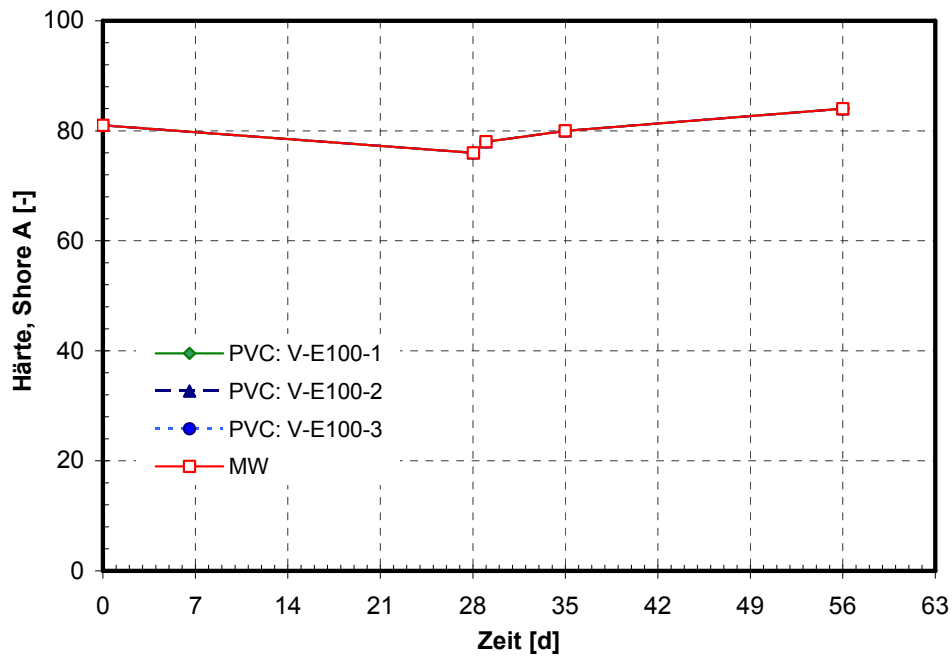


Bild 51: PVC-P Dichtungsbahn, Einlagerung in V-E100, Härteänderung (Shore-Einheiten)

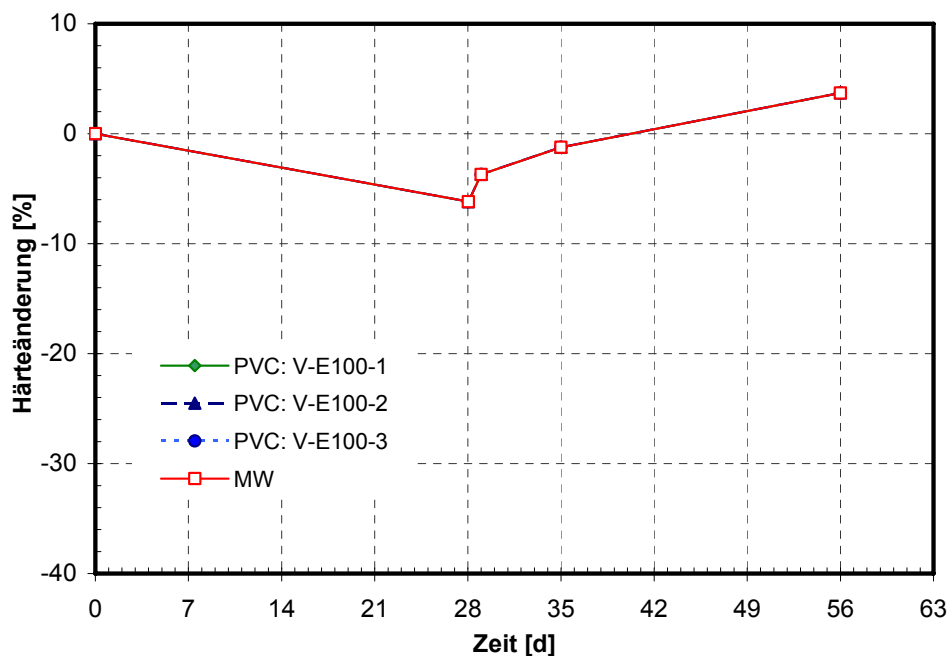


Bild 52: PVC-P Dichtungsbahn, Einlagerung in V-E100, Härteänderung, bezogen auf die bei 23 °C, 50 % r. F. gelagerte Probe

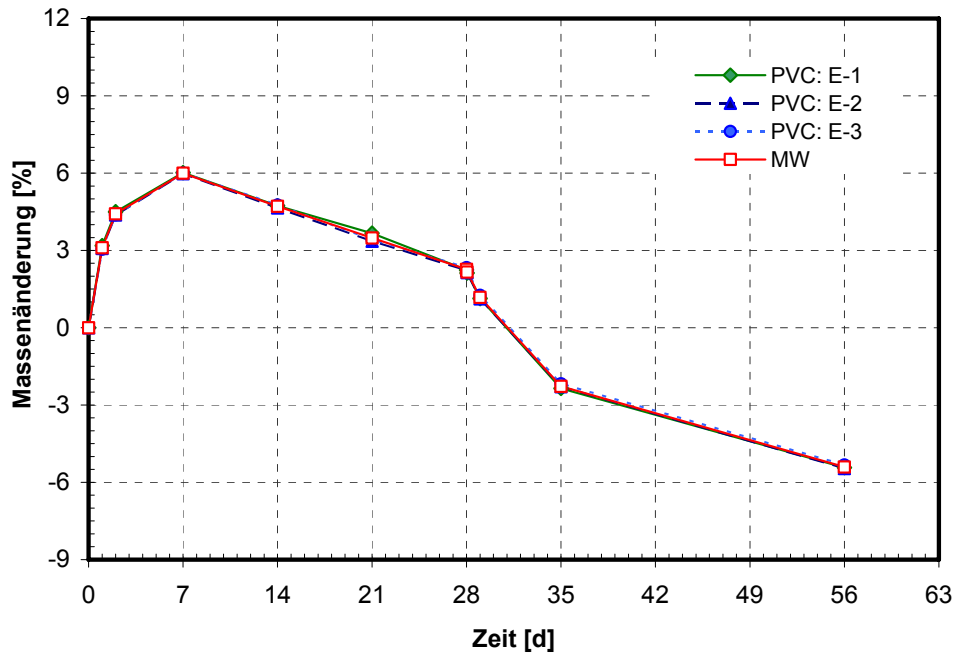


Bild 53: PVC-P Dichtungsbahn, Einlagerung in E, Masseänderung

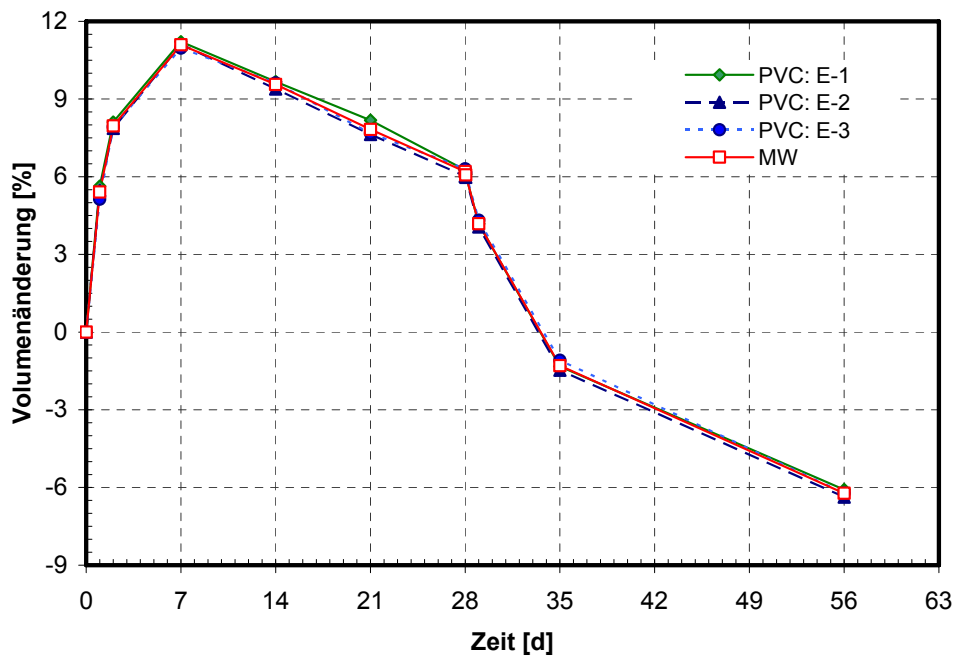


Bild 54: PVC-P Dichtungsbahn, Einlagerung in E, Volumenänderung

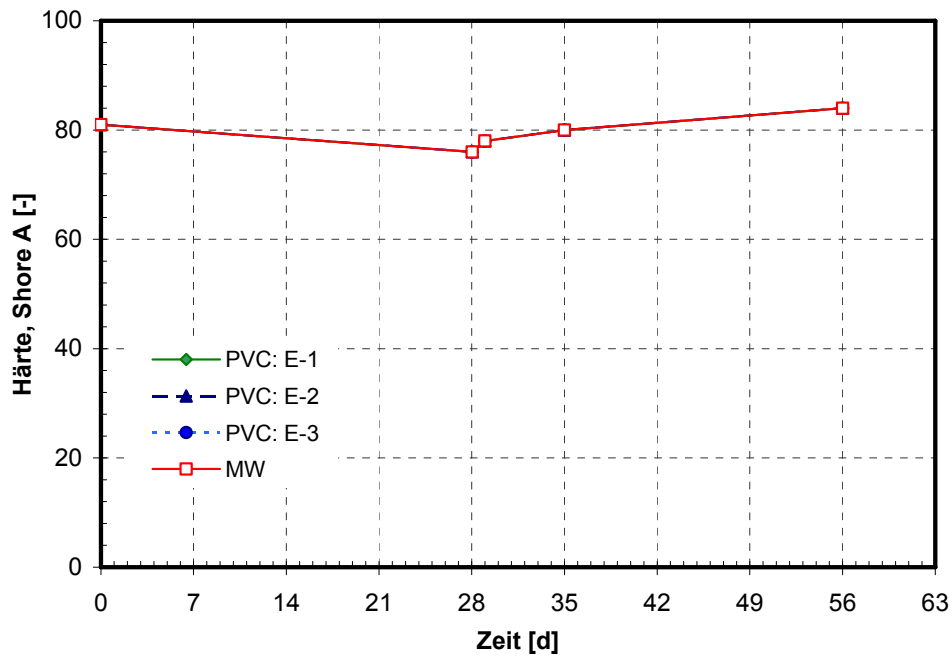


Bild 55: PVC-P Dichtungsbahn, Einlagerung in E, Härteänderung (Shore-Einheiten)

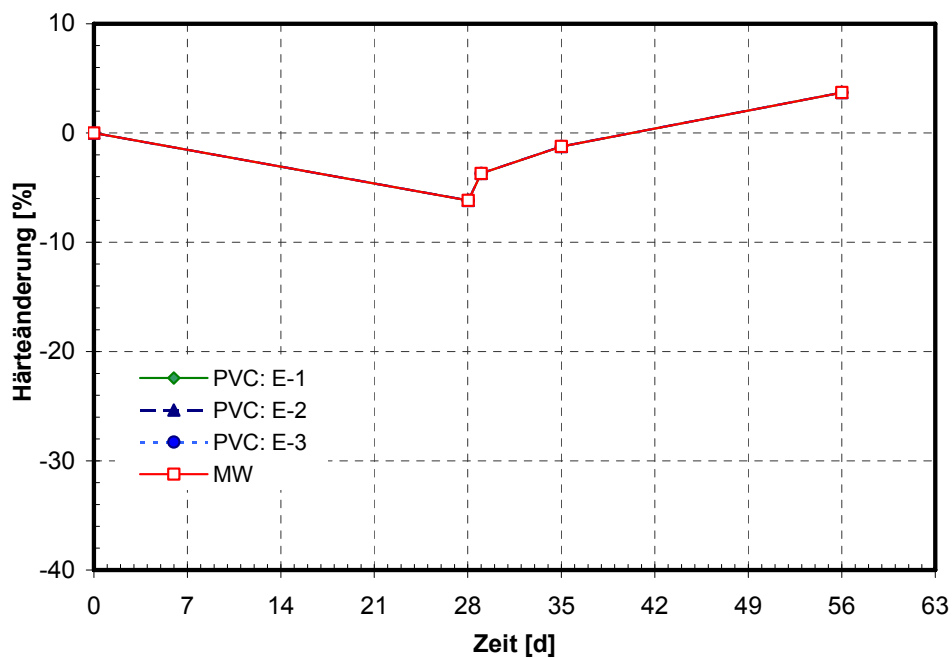


Bild 56: PVC-P Dichtungsbahn, Einlagerung in E, Härteänderung, bezogen auf die bei 23 °C, 50 % r. F. gelagerte Probe

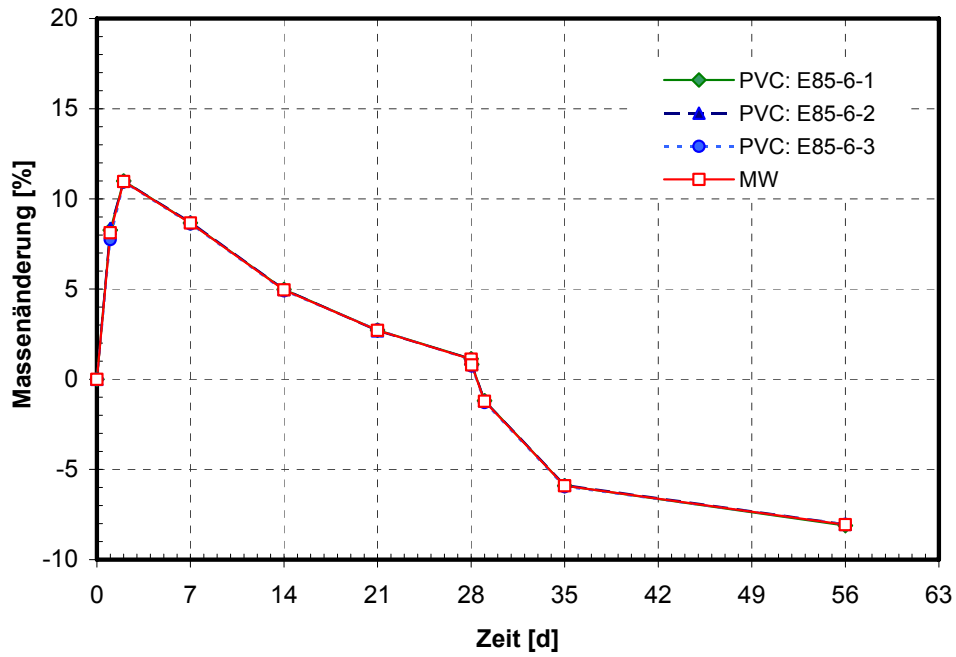


Bild 57: PVC-P Dichtungsbahn, Einlagerung in E85-6, Masseänderung

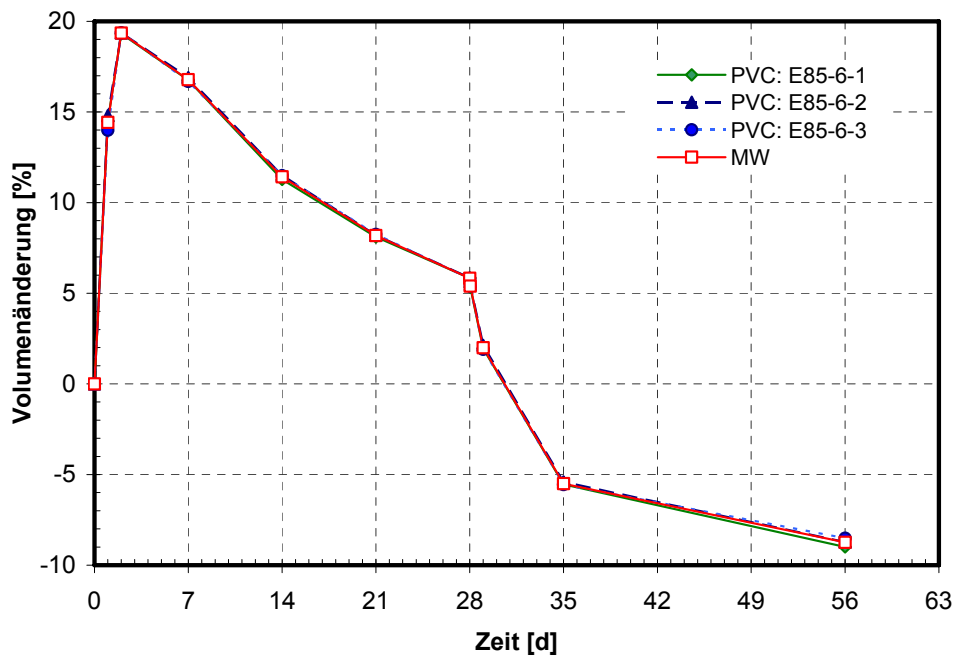


Bild 58: PVC-P Dichtungsbahn, Einlagerung in E85-6, Volumenänderung

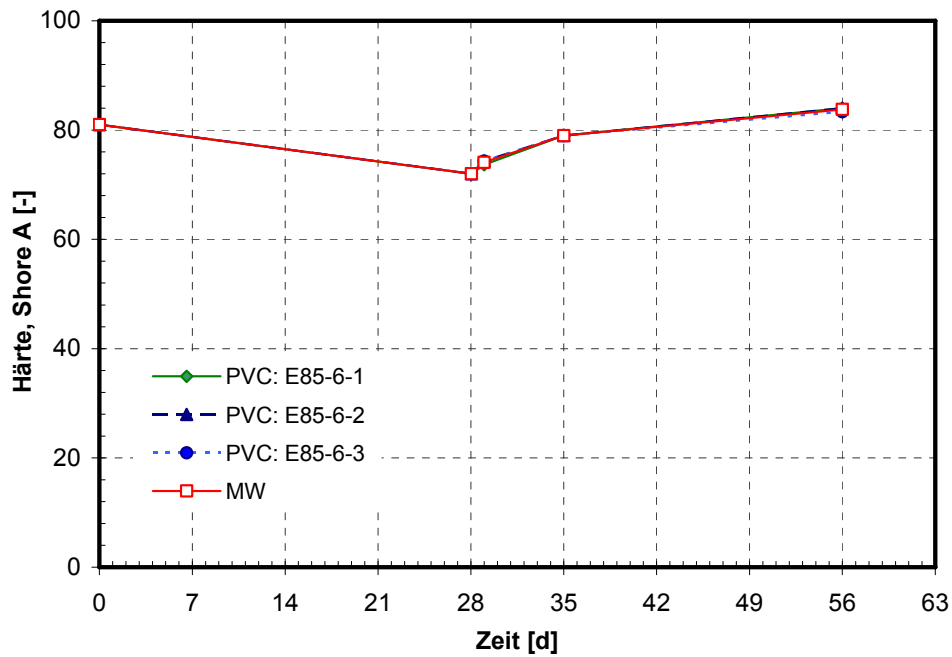


Bild 59: PVC-P Dichtungsbahn, Einlagerung in E85-6, Härteänderung (Shore-Einheiten)

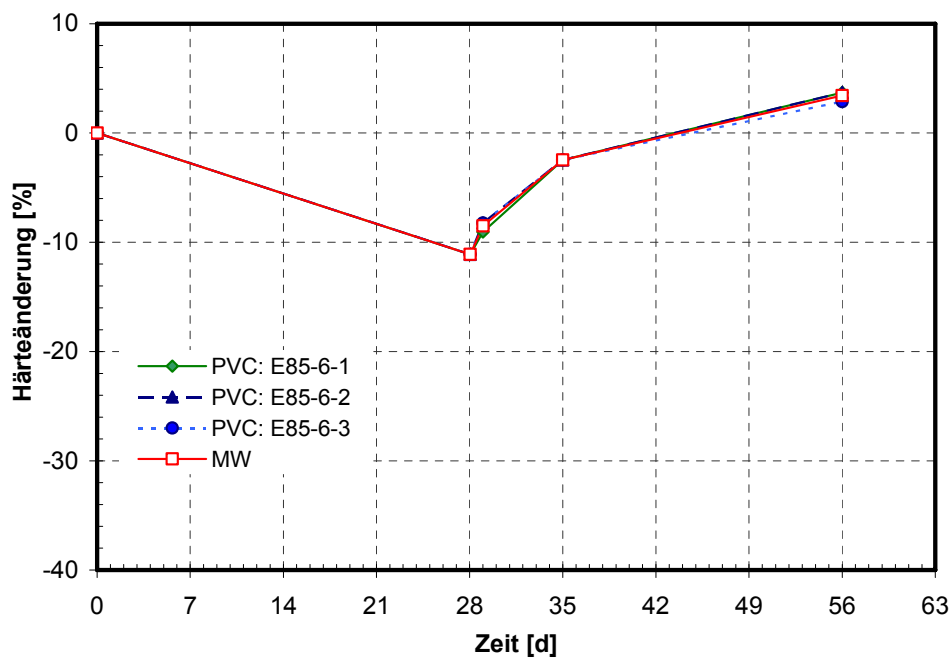


Bild 60: PVC-P Dichtungsbahn, Einlagerung in E85-6, Härteänderung, bezogen auf die bei 23 °C, 50 % r. F. gelagerte Probe

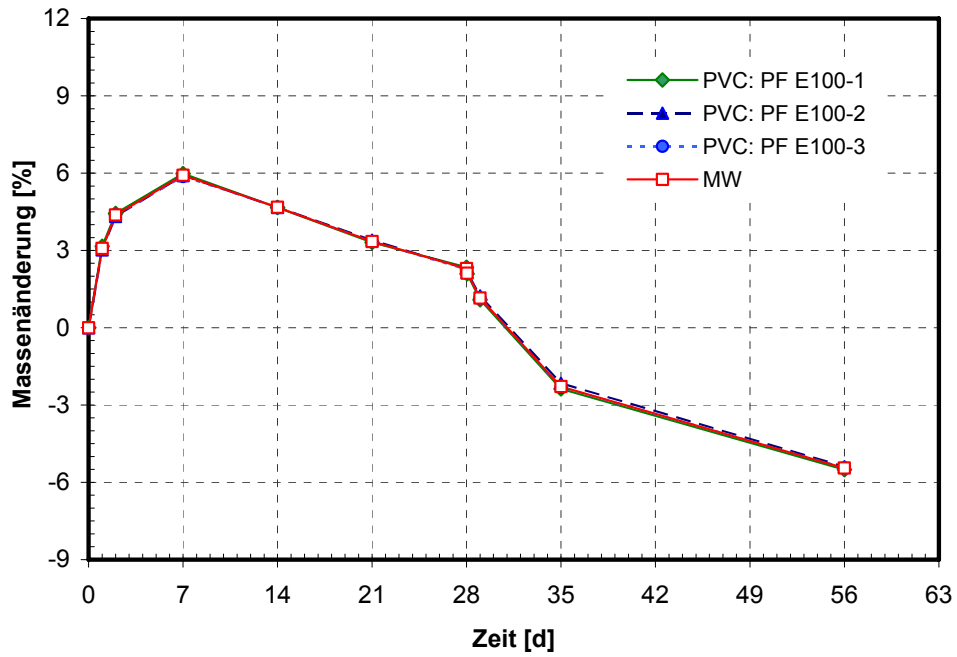


Bild 61: PVC-P Dichtungsbahn, Einlagerung in PF E100, Masseänderung

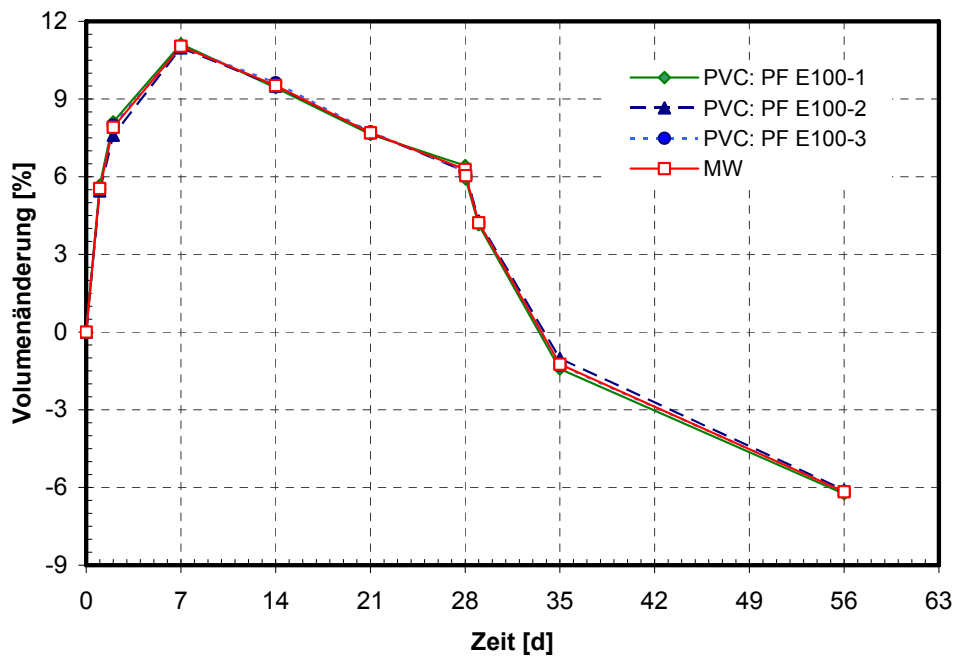


Bild 62: PVC-P Dichtungsbahn, Einlagerung in PF E100, Volumenänderung

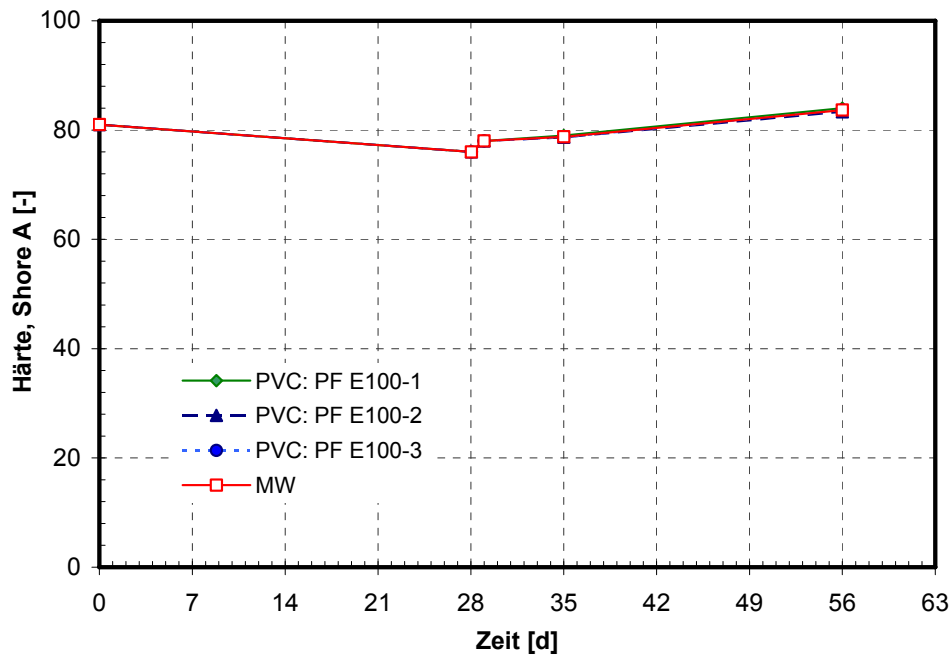


Bild 63: PVC-P Dichtungsbahn, Einlagerung in PF E100, Härteänderung (Shore-Einheiten)

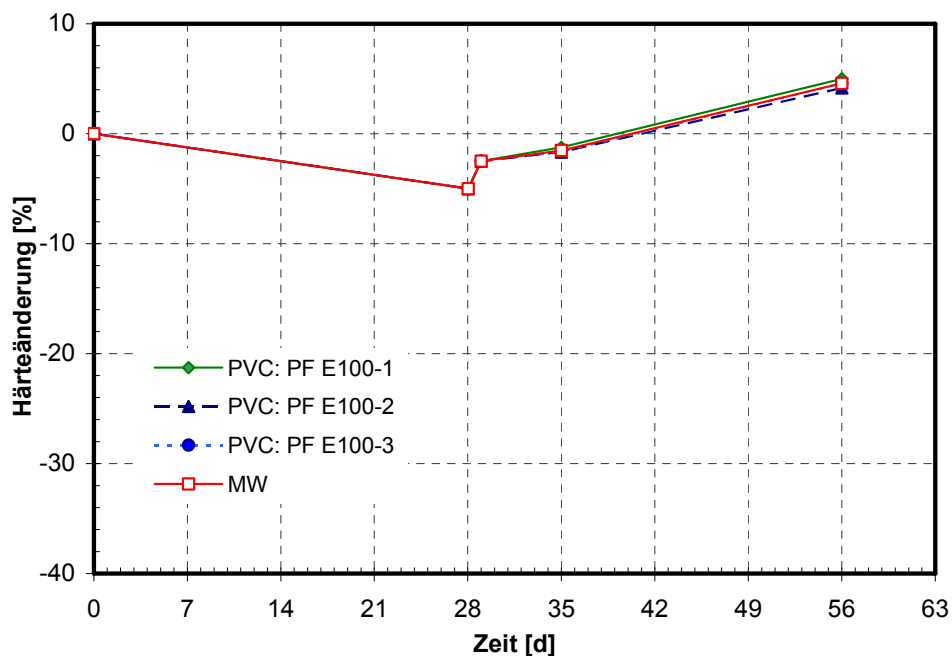


Bild 64: PVC-P Dichtungsbahn, Einlagerung in PF E100, Härteänderung, bezogen auf die bei 23 °C, 50 % r. F. gelagerte Probe



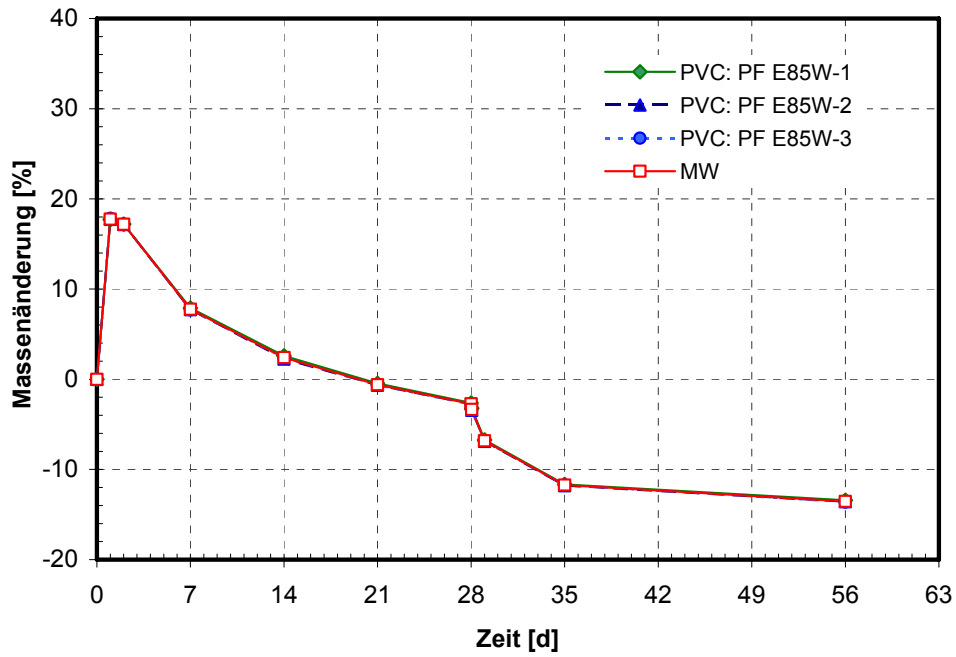


Bild 65: PVC-P Dichtungsbahn, Einlagerung in PF E85W, Masseänderung

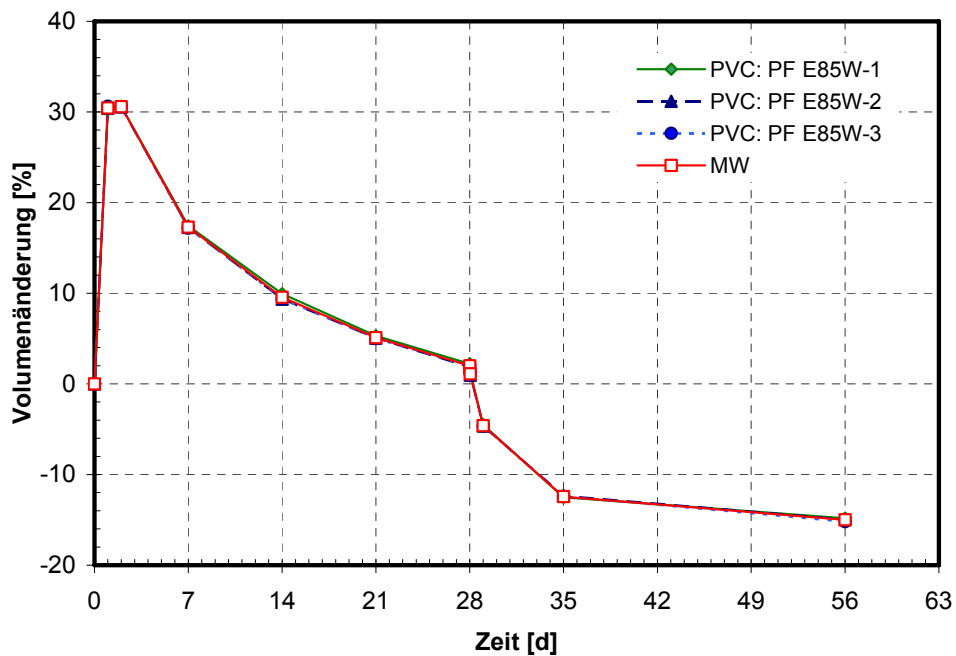


Bild 66: PVC-P Dichtungsbahn, Einlagerung in PF E85W, Volumenänderung

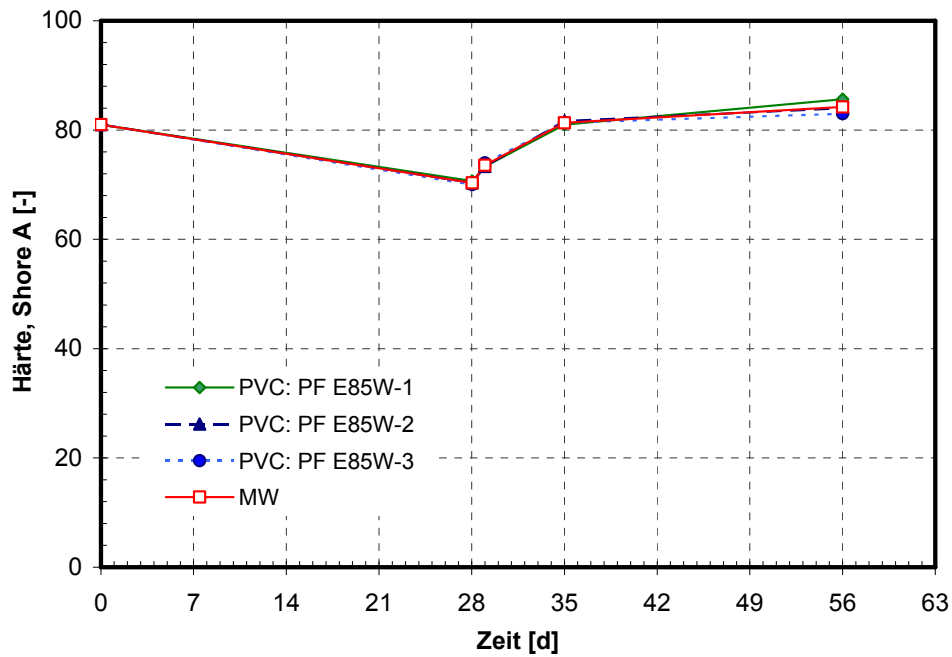


Bild 67: PVC-P Dichtungsbahn, Einlagerung in PF E85W, Härteänderung (Shore-Einheiten)

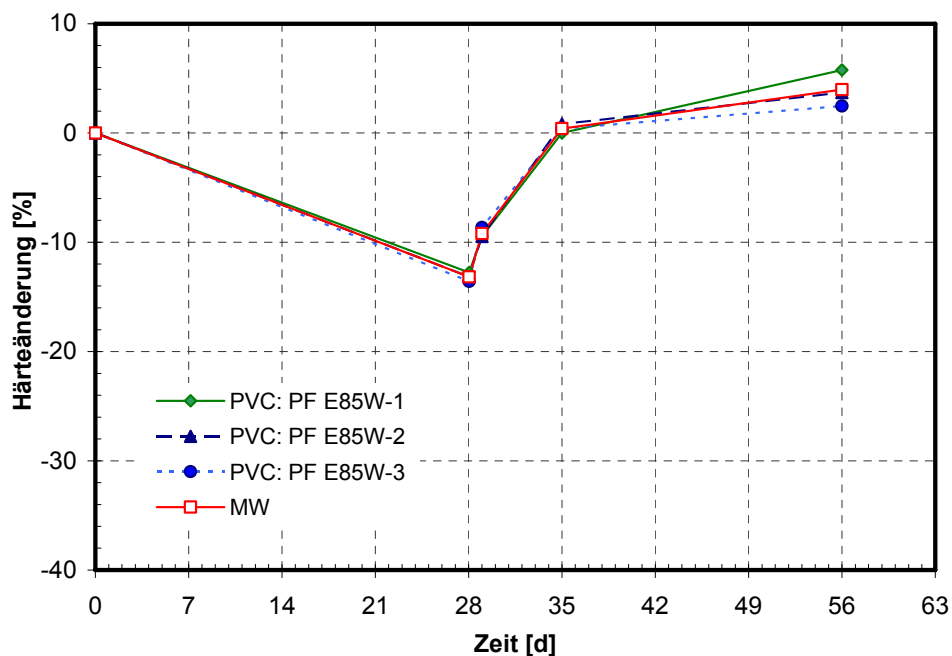


Bild 68: PVC-P Dichtungsbahn, Einlagerung in PF E85W, Härteänderung, bezogen auf die bei 23 °C, 50 % r. F. gelagerte Probe

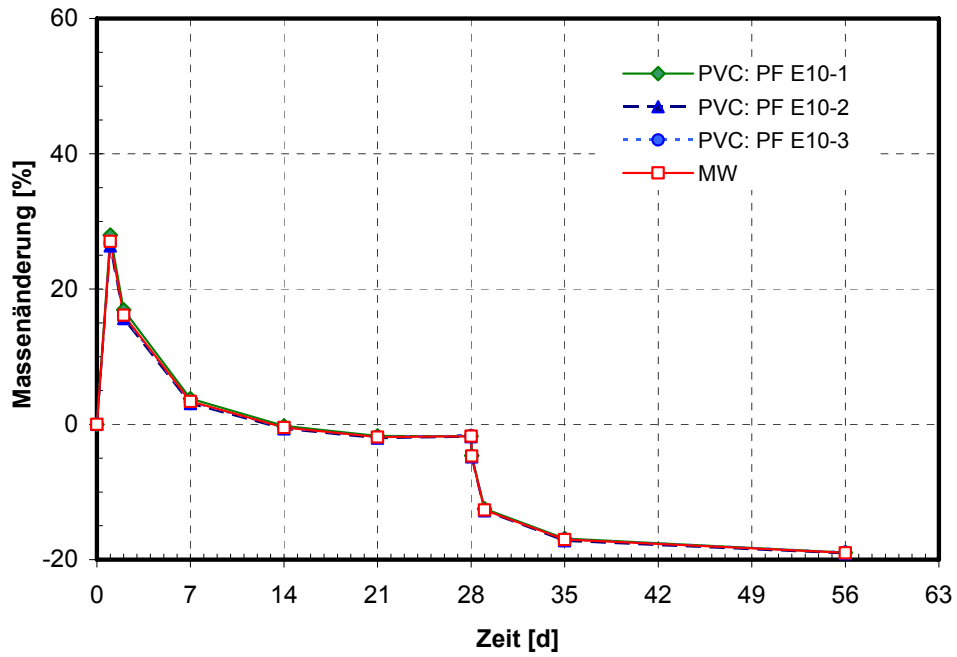


Bild 69: PVC-P Dichtungsbahn, Einlagerung in PF E10, Masseänderung

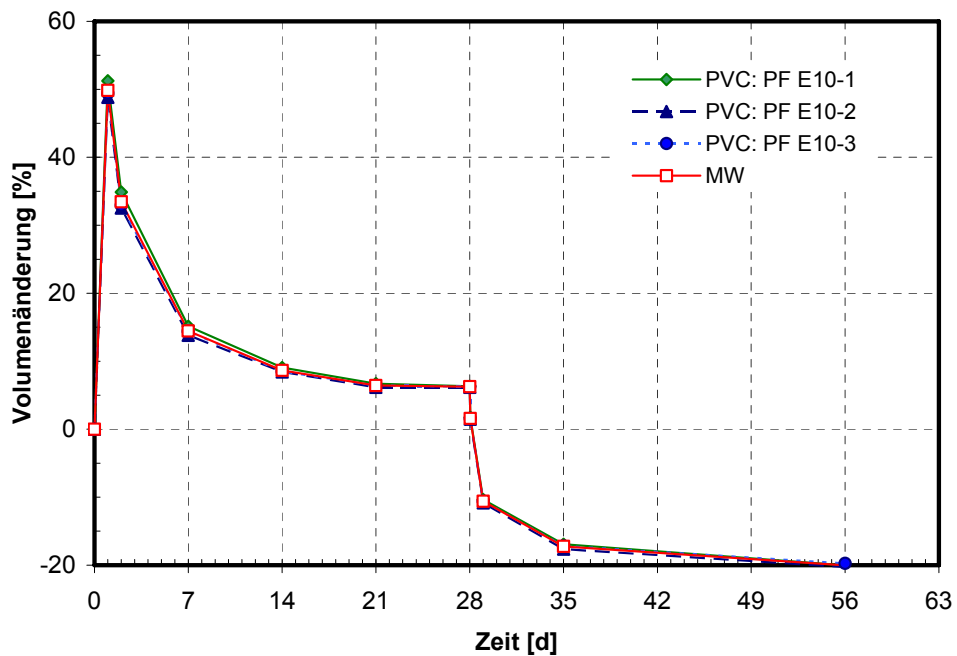


Bild 70: PVC-P Dichtungsbahn, Einlagerung in PF E10, Volumenänderung

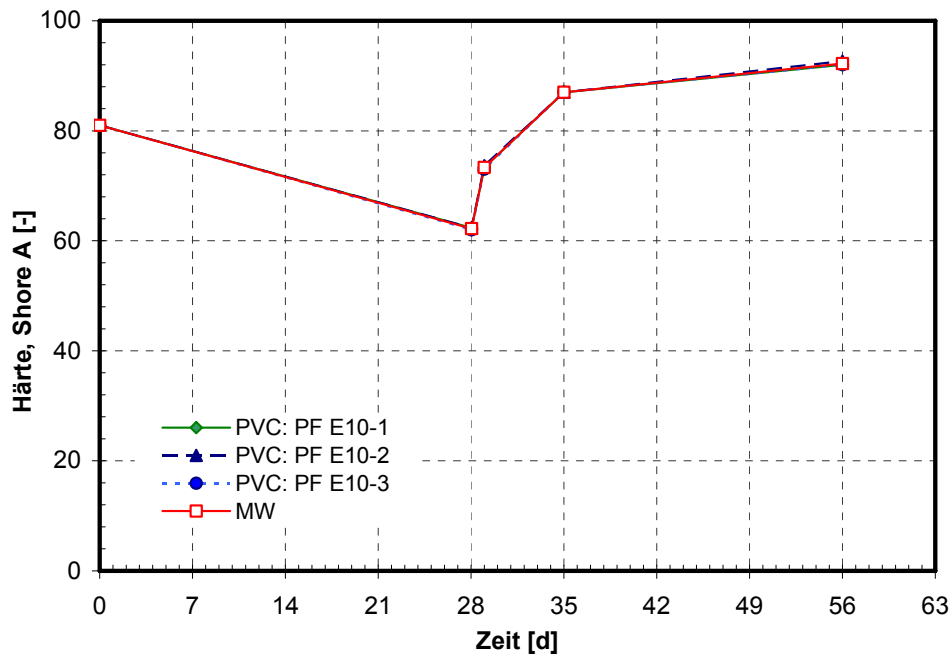


Bild 71: PVC-P Dichtungsbahn, Einlagerung in PF E10, Härteänderung (Shore-Einheiten)

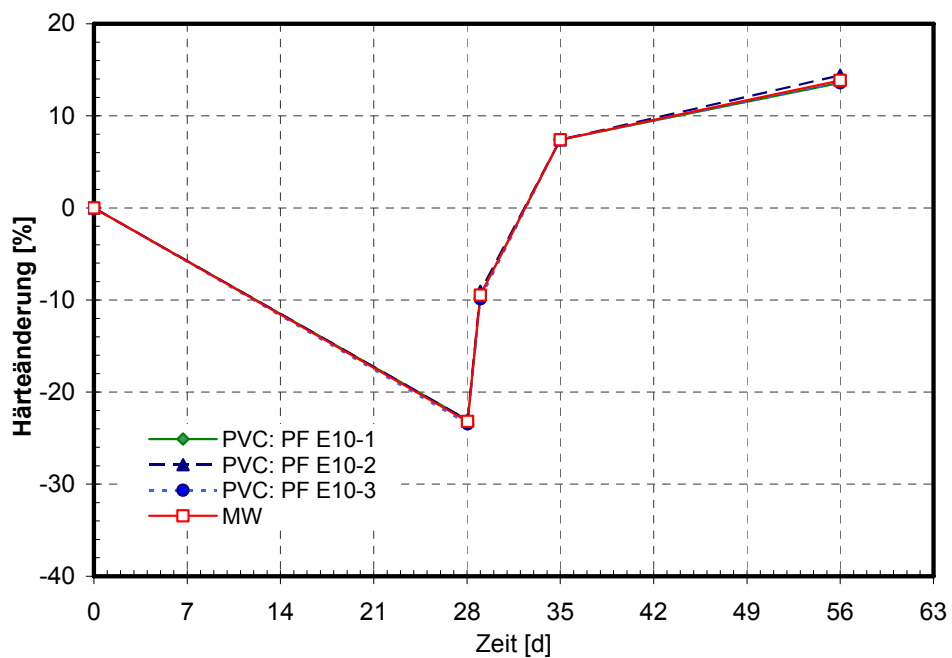


Bild 72: PVC-P Dichtungsbahn, Einlagerung in PF E10, Härteänderung, bezogen auf die bei 23 °C, 50 % r. F. gelagerte Probe